

บทที่ 2

เอกสารและงานวิจัยที่เกี่ยวข้อง

2.1 ทฤษฎีการแยกของแข็งออกจากของเหลว (Rushton and Holdich, 2000)

เทคนิคในการแยกของแข็งออกจากของเหลวมี 2 วิธี

2.1.1 การกรอง (Filtration)

คือการนำของผสมที่มีทั้งของแข็งและของเหลวมาผ่านตัวกลาง (เช่น ตะแกรง กระดาษ ทราย กรวด เป็นต้น) ของเหลวจะไหลผ่านตัวกลาง ในขณะที่ของแข็งจะถูกกักของอยู่ด้านบนผิวน้ำของตัวกลาง

2.1.2 การตกตะกอน (Sedimentaiton)

การแยกโดยการตกตะกอนนั้นอาศัยแรงม้ากระทำ ซึ่งแบ่งออกเป็น 2 ชนิด คือ แรงโน้มถ่วง (Gravity force) และแรงเหวี่ยง (Centifigal force) ซึ่งทั้ง 2 แรงนี้อาศัยความแตกต่างกันของความหนาแน่นของของแข็งและของเหลว ซึ่งของแข็งจะมีความหนาแน่นมากกว่าของเหลว

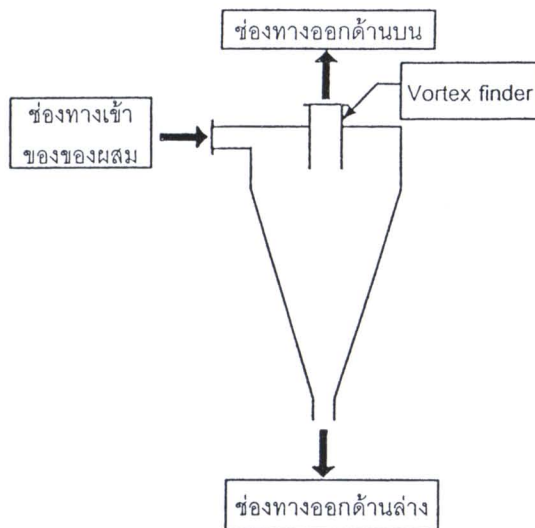
ในการตกตะกอนนั้น ผู้วิจัยสนใจในเรื่องของไฮดร่าไซโคลน ซึ่งเป็นอุปกรณ์ที่ใช้แยกของแข็งออกจากของเหลวโดยใช้แรงเหวี่ยง ซึ่งจะกล่าวในเรื่องของทฤษฎีต่อไป

2.2 ไฮดร่าไซโคลน (Hydrocyclone)

2.2.1 ความรู้เบื้องต้นเกี่ยวกับไฮดร่าไซโคลน (วรศิริ เสียงสนั่น, 2549)

ไฮดร่าไซโคลนเป็นอุปกรณ์ที่ใช้แยกของแข็งออกจากของเหลว ซึ่งการไหลของของเหลวในไฮดร่าไซโคลน จะประกอบด้วย 3 ช่องทาง ดังแสดงได้ดังรูปที่ 2.1 คือ

1. ช่องทางเข้าของของผสม (Feed) จะอยู่ทางด้านข้างของไฮดร่าไซโคลนเพื่อให้เกิดความเร็วในแนวสัมผัสส่วนรอบวง เกิดการกระจายตัวของอนุภาค ทำให้ออนุภาคที่มีขนาดใหญ่สามารถแยกตัวออกจากไอลัพนังของไฮดร่าไซโคลนและออกมาน้ำที่ช่องทางออกด้านล่าง ในขณะที่อนุภาคขนาดเล็กจะไหลออกที่ช่องทางออกด้านบนของไฮดร่าไซโคลน
2. ช่องทางออกด้านล่าง (Underflow) เป็นทางออกของน้ำและอนุภาคของแข็งที่มีขนาดใหญ่หรือมีความหนาแน่นสูง
3. ช่องทางออกด้านบน (Overflow) เป็นทางออกของน้ำและอนุภาคของแข็งที่มีขนาดเล็กหรือมีความหนาแน่นต่ำ



รูปที่ 2.1 เส้นทางการไหลทั้ง 3 ส่วนภายในไฮโดรไซโคลน

หลักการทำงานของไฮโดรไซโคลน เริ่มจากการจ่ายของผสมหรือน้ำที่ต้องการบำบัดเข้าไปในไฮโดรไซโคลนด้วยแรงดันของน้ำ โดยที่ช่องห่อจ่ายเข้าของไฮโดรไซโคลนส่วนใหญ่มีหน้าตัดเป็นวงกลม ดังนั้นมีการจ่ายของผสมหรือน้ำที่ต้องการบำบัดเข้าไปในไฮโดรไซโคลนทางด้านข้าง จะทำให้เกิดความเร็วตามแนวสัมผัสเส้นรอบวง (Tangential velocity) เพื่อให้เกิดการหมุนเวียนแล้วแยกการไหลของของผสมที่มีอนุภาคและความหนาแน่นที่แตกต่างกันออกจากกันเป็นสองส่วน ส่วนแรกคือ การไหลของอนุภาคของแข็งที่มีขนาดใหญ่หรือมีความหนาแน่นสูงจะไหลออกทางช่องทางออกด้านล่าง (Underflow) พร้อมกับน้ำด้วยบางส่วน ส่วนที่สองคือ การไหลของน้ำใสและอนุภาคของแข็งที่มีขนาดเล็กหรือมีความหนาแน่นต่ำจะไหลขึ้นออกสู่ช่องทางออกด้านบน (Overflow) ผ่านห่อจ่ายในช่องห่อดังกล่าว เรียกว่า Vortex finder

การเคลื่อนที่ของของไหลภายในไฮโดรไซโคลนจะมีลักษณะการไหลแบบหมุนวน สามารถแบ่งออกได้สองประเภท คือ การไหลแบบหมุนวนภายนอก (Outer vortex) เป็นการหมุนอยู่ด้านนอกติดกับผนังของไฮโดรไซโคลนในทิศทางลง ทำหน้าที่นำอนุภาคของแข็งที่มีขนาดใหญ่หรือมีความหนาแน่นสูงไหลออกทางช่องทางออกด้านล่างของไฮโดรไซโคลน และการหมุนวนภายใน (Inner vortex) เป็นการหมุนวนขึ้นด้านบนในทิศทางการหมุนเดียวกันที่บริเวณแกนกลางของไฮโดรไซโคลน ทำหน้าที่นำอนุภาคของแข็งที่มีขนาดเล็กหรือมีความหนาแน่นต่ำไหลออกทางช่องทางออกด้านบน และที่แกนกลางของไฮโดรไซโคลนจะเกิดแกนอากาศ (Air core) ขึ้น

ส่วนทางด้านบนของไฮโดรไซโคลนจะพบว่ามีการไหลอีกแบบหนึ่ง ซึ่งของผสมจะเคลื่อนที่ผ่านส่วนปิดบน Vortex finder และรอบๆ ผนังของไฮโดรไซโคลนที่ของผสมนั้นจะไหลวนอยู่เฉพาะ

บริเวณในส่วนบนของไอก็อตไดร์โคลนและไอลอออกทางช่องทางออกด้านบน (Overflow) โดยไม่ผ่านการหมุนวนใน Outer และ Inner vortex ดังนั้นจึงไม่เกิดการแยกอนุภาคในเด็นการไอลนี ของผสมที่ไอลอออกทางช่องทางออกด้านบนจะไอลไปรวมกับของผสมที่ไม่ได้ไอลลงมาที่ตัวไอก็อตไดร์โคลน เรียกปรากฏการณ์นี้ว่า การไอลลัดวงจร (Short circuit flow) ซึ่งทำให้ความเร็วของการหมุนวนในไอก็อตไดร์โคลนลดลง เนื่องจากการไอลวนอยู่เฉพาะบริเวณภายในช่วงบนของไอก็อตไดร์โคลนแล้ว ไอลลัดออกทางช่องทางออกด้านบน

ไอก็อตไดร์โคลนสามารถทำหน้าที่เป็นได้ทั้งอุปกรณ์สำหรับทำใส (Clarifier) และอุปกรณ์สำหรับทำขัน (thickeners) นั่นคือ ส่วนการไอลที่ไอลอออกทางด้านบน (Overflow) เป็นการเจือจางของของแข็งหรืออนุภาคขนาดละเอียด ซึ่งแสดงว่ามีปริมาณอนุภาคของแข็งน้อยลง ส่วนการไอลที่แยกออกทางด้านล่าง (Underflow) จะมีอนุภาคขนาดใหญ่และมีความเข้มข้นของของแข็งมากกว่า

การใช้ไอก็อตไดร์โคลนในภาคอุตสาหกรรม ในกรณีที่ค่าความดันลดของไอก็อตไดร์โคลนมีค่าสูงมาก หรืออัตราการไอลของของผสมมีค่ามาก อาจจำเป็นต้องใช้ไอก็อตไดร์โคลนหลายตัวมาต่อ กันแบบขนานหรือแบบอนุกรมเพื่อเพิ่มประสิทธิภาพในการแยกของแข็งแขวนโดยออกจากกัน

การจัดเรียงไอก็อตไดร์โคลนแบบขนาน นิยมใช้เพื่อรับอัตราการไอลของของผสมได้สูงขึ้น ตามต้องการ ในกรณีจัดเรียงไอก็อตไดร์โคลนแบบขนานนี้อาจใช้ไอก็อตไดร์โคลนที่มีรูปทรงและขนาดเดียวกันหลายๆ ตัว มาต่อแบบขนานโดยต้องออกแบบให้ของไอลผ่านเข้ามาในไอก็อตไดร์โคลนเท่าๆ กัน

การจัดเรียงไอก็อตไดร์โคลนแบบอนุกรม หมายถึงการใช้ไอก็อตไดร์โคลนหลายตัวมาต่อ กันแบบอนุกรม อนุภาคที่มีขนาดเล็กหรือมีความหนาแน่นต่างๆ ในส่วนที่ออกทางช่องทางออกด้านบน จะไอลเข้าสู่ไอก็อตไดร์โคลนตัวที่สองและต่อๆ ไป ค่าประสิทธิภาพในการแยกอนุภาคของไอก็อตไดร์โคลนตัวที่สองจะน้อยกว่าของไอก็อตไดร์โคลนตัวแรก ดังนั้นอาจออกแบบให้ไอก็อตไดร์โคลนตัวถัดมา มีขนาดเล็กลงตามลำดับ เพื่อเพิ่มประสิทธิภาพในการแยกอนุภาคที่มีขนาดเล็กที่หลุดรอด ออกจากไอก็อตไดร์โคลนตัวตันๆ อนุภาคที่ออกมากจากไอก็อตไดร์โคลนแต่ละตัวมีการกระจายตัว ของขนาดแตกต่างกัน ในการใช้ไอก็อตไดร์โคลนแบบนี้อาจใช้สำหรับแยกอนุภาคของผสมออกเป็น 2-3 ขนาดก็ได้ นอกจากนี้ยังใช้ได้กับในกรณีของผสมมีการกระจายขนาดกว้าง ดังนั้นควรใช้ไอก็อตไดร์โคลนตัวแรกแยกอนุภาคที่มีขนาดใหญ่เพื่อป้องกันการอุดตันและเพิ่มประสิทธิภาพของไอก็อตไดร์โคลนตัวต่อไปซึ่งมีขนาดเล็กกว่า

โดยทั่วไปขนาดของไอก็อตไดร์โคลน มีขนาดเส้นผ่านศูนย์กลางระหว่าง 10 มิลลิเมตรถึง 2.5 เมตร ขนาดของอนุภาคที่แยกได้อยู่ระหว่าง 2-250 ไมโครเมตร และอัตราการไอลที่ใช้จะมีปริมาตร

อยู่ระหว่าง 0.1-7200 ลูบาร์ก์เมตรต่อชั่วโมง ค่าความดันลด (pressure drop) ระหว่างช่องทางที่ล่างน้ำเข้ากับช่องทางที่น้ำไหลออก ซึ่งค่าที่ใช้ในการทำงานอยู่ระหว่างความดันขนาด 0.34-6 บาร์ ซึ่งไฮดร่าเซลล์ขนาดเล็กจะทำงานที่ความดันสูงกว่าไฮดร่าเซลล์ที่มีขนาดใหญ่ (Svarovsky, 1984)

ข้อดีและข้อเสียของไฮดร่าเซลล์สามารถสรุปได้ดังนี้

ข้อดีของไฮดร่าเซลล์

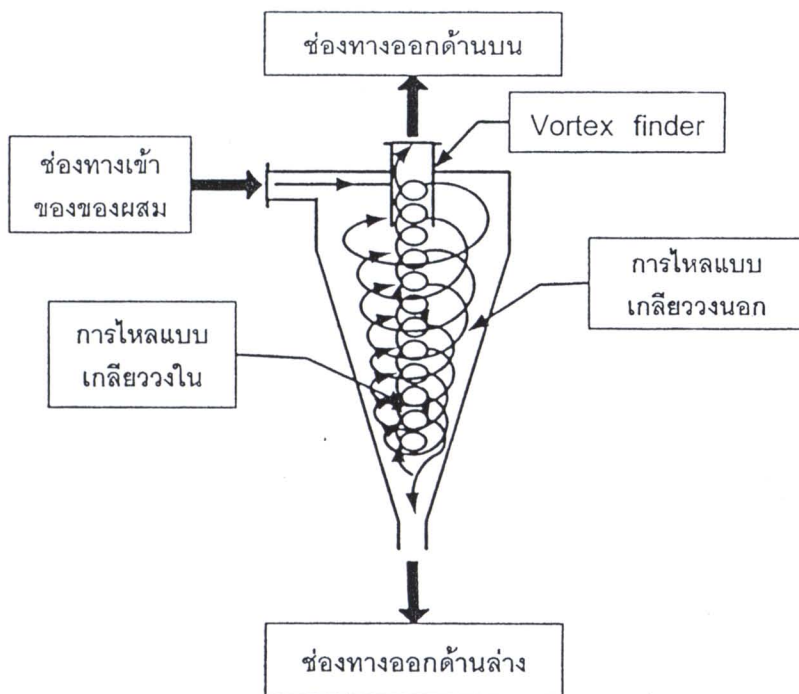
1. ไฮดร่าเซลล์ใช้เวลาในการแยกตะกอนน้อยกว่าในกระบวนการแยกวิธีอื่นๆ
2. ไฮดร่าเซลล์มีราคาถูก ติดตั้งง่าย และมีความต้องการบำรุงรักษาน้อย
3. ไฮดร่าเซลล์มีขนาดเล็ก เมื่อเปรียบเทียบกับอุปกรณ์การแยกชนิดอื่นๆ
4. ไฮดร่าเซลล์สามารถประยุกต์ใช้กับการแยกของแข็งออกจากของเหลว แยกของเหลวสองชนิดที่อยู่ร่วมกัน แยกก้าชออกจากของเหลว หรือแยกของแข็งออกจากของแข็งด้วยกันในภาวะที่มีความหนาแน่นแตกต่างกัน

ข้อเสียของไฮดร่าเซลล์

1. ไฮดร่าเซลล์ไม่สามารถแยกขนาดของอนุภาคออกจากกันได้อย่างสมบูรณ์ เนื่องจากมีการประสานของอนุภาคขนาดใหญ่ในส่วนที่ต้องการแยกอนุภาคขนาดเล็ก หรือมีการประสานของอนุภาคขนาดเล็กในส่วนที่ต้องการแยกอนุภาคขนาดใหญ่
2. ตัวเรือนไฮดร่าเซลล์เกิดการกัดกร่อนและสึกหรอได้ เนื่องจากการระทบกันระหว่างอนุภาคของแข็งกับผนังภายในไฮดร่าเซลล์ อย่างไรก็ตามสามารถป้องกันได้โดยการเคลือบผิวภายในไฮดร่าเซลล์หรือเลือกวัสดุของตัวเรือนไฮดร่าเซลล์ที่มีคุณสมบัติทนต่อการกัดกร่อน
3. แรงเฉือน (Shear force) ที่มีมากในไฮดร่าเซลล์ ทำให้อนุภาคที่เกาะตัวกันเป็นก้อนจากกระบวนการสร้าง-รวมตะกอน (Coagulation-Flocculation) เกิดการแตกตัวออกจากกันได้
4. ใช้พลังงานสูงในการสร้างความเร็วในการไหลเข้า โดยนิยมควบคุมความดันจ่ายเข้าเพื่อปรับอัตราไหลเข้าไฮดร่าเซลล์

2.2.2 การไหลของของไหลและการเคลื่อนที่ของอนุภาคในไฮโดรไซโคลน (Fluid Flow and Particle Motion in Hydrocyclone)

การไหลของของไหลและการเคลื่อนที่ของอนุภาคในไฮโดรไซโคลน อาศัยหลักการของแรงหนึ่งศูนย์กลางที่เกิดขึ้นภายในไฮโดรไซโคลน แรงดึงกล่าวเกิดจากการหมุนวน ซึ่งเกิดจากการจ่ายของผสมเข้าไปในลักษณะสัมผัสกับผิวเส้นรอบวงของไฮโดรไซโคลน ดังรูปที่ 2.2 แสดงให้เห็นรูปร่างของไฮโดรไซโคลนที่ใช้กันอยู่ แบ่งออกเป็นสองส่วน คือ ส่วนบนที่เป็นทรงกระบอกจะถูกปิดที่ส่วนบนด้วยตัวครอบและมีห้องหลุสำหรับให้ของไหลออกทางด้านบน เรียกว่า Vortex finder มีระยะยื่นออกมาจากตัวไฮโดรไซโคลน และส่วนล่างที่เป็นกรวยจะมีลักษณะเป็นช่องเปิดปลายกรวยเพื่อให้ออนุภาคของแข็งที่ถูกแยกโดยไฮโดรไซโคลนออกมากทางช่องทางออกด้านล่าง (Underflow) ของผสมจะถูกจ่ายเข้าไปในไฮโดรไซโคลนตามแนวสัมผัสผิวเส้นรอบวง ในทางปฏิบัติช่องทางเข้าของของผสมจะเป็นตัวกำหนดอัตราการไหลที่จะเข้ามาในไฮโดรไซโคลน

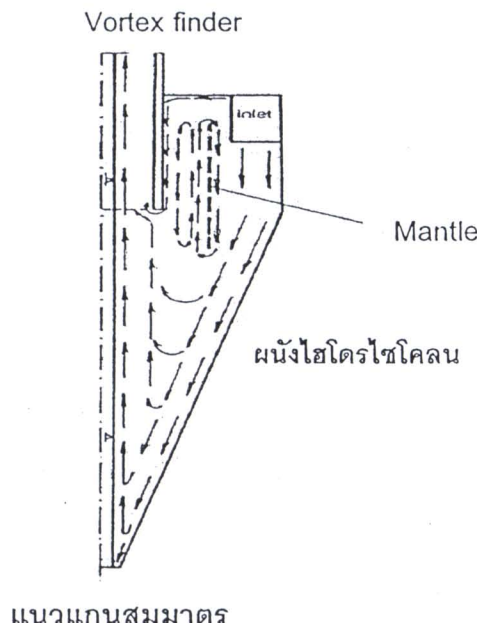


รูปที่ 2.2 ลักษณะการไหลแบบหมุนวนภายในไฮโดรไซโคลน

บริเวณด้านในและบริเวณรอบๆ ของห้องหลุทางเข้า การเคลื่อนที่ของของไหลภายในไฮโดรไซโคลนเป็นลักษณะสมมาตร ดังแสดงในรูปที่ 2.2 ของไหลที่ไหลเข้ามาส่วนใหญ่จะเคลื่อนที่ในลักษณะการไหลแบบเกลียววงนอก (Outer vortex) ไปสู่ด้านล่างของกรวยและทำให้ของไหลและอนุภาคของแข็งที่มีขนาดใหญ่ไหลออกทางช่องเปิดด้านล่าง (Underflow) ที่ปลายแหลมของกรวย

จากนั้น้ำและอนุภาคของแข็งที่มีขนาดเล็กบางส่วนจะหลอกลับขึ้นมาในแนวแกนกลางของไฮดร่าเซลล์ (Inner vortex) เคลื่อนที่ในแนวตั้งขึ้นมาและไหลออกทาง Vortex finder

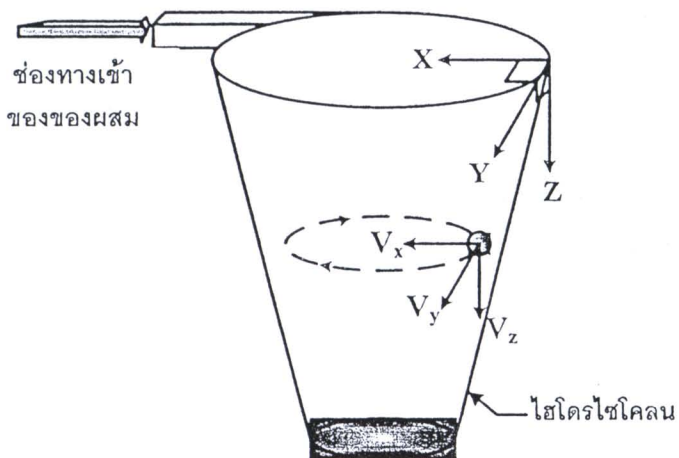
นอกจากนี้ยังมีการไหลวนที่เรียกว่า Mantle ดังแสดงในรูปที่ 2.3 ซึ่งทำให้เกิดเส้นทางการไหลที่แบ่งออกจากกันระหว่างการไหลลงที่บริเวณผนังของรายและการเคลื่อนที่ขึ้นที่บริเวณด้านในใกล้แกนกลางของไฮดร่าเซลล์



รูปที่ 2.3 เส้นทางการไหลของของไหลตามแนวแกนและตามแนววัศมีภายในไฮดร่าเซลล์
(Svarovsky, 1984)

2.2.3 ความเร็วของของไหลในไฮดร่าเซลล์ (velocity in hydrocyclone) (Puprasert, 2004)

ความเร็วของของไหลในไฮดร่าเซลล์เกิดจากการจ่ายของผสานระหว่างของไหลกับของแข็งเข้าไปในไฮดร่าเซลล์ตามแนวสัมผัสเส้นรอบวง ผลให้ของผสานในไฮดร่าเซลล์มีความเร็วของของไหลในลักษณะสามารถแบ่งออกตามทิศทางของความเร็วนั้นๆ ได้ 3 ชนิด คือ ความเร็วตามแนวสัมผัสเส้นรอบวง (Tangential velocity, V_y) ความเร็วตามแนวแกน (Axial velocity, V_z) และความเร็วตามแนววัศมี (Radial velocity, V_x) ดังแสดงในรูปที่ 2.4



รูปที่ 2.4 ความเร็วของของไหลในไอกอิร่าไซโคลน (Puprasert, 2004)

2.2.3.1 ความเร็วตามแนวสัมผัสเส้นรอบวง (Tangential velocity, V_y)

ความเร็วตามแนวสัมผัสเส้นรอบวง คือ ความเร็วเชิงเส้นของผสมที่จ่ายไปที่บริเวณทางเข้าโดยมีทิศทางสัมผัสกับผิวเส้นรอบวงของไอกอิร่าไซโคลน และมีความสัมพันธ์ระหว่างอัตราการไหลของของผสมที่จ่ายเข้าที่บริเวณทางเข้ากับพื้นที่หน้าตัดของช่องทางเข้าของไอกอิร่าไซโคลน ดังสมการที่ 2.1

$$V_i = \frac{Q}{A_i} \quad (2.1)$$

เมื่อ V_i คือ ความเร็วของของผสมที่จ่ายไปที่ช่องทางเข้าไอกอิร่าไซโคลน

Q คือ อัตราการไหลเข้าของของผสมที่จ่ายเข้าไอกอิร่าไซโคลน

A_i คือ พื้นที่หน้าตัดของช่องทางเข้าของไอกอิร่าไซโคลน

โดยที่ความเร็วตามแนวสัมผัสเส้นรอบวง (V_y) ในไอกอิร่าไซโคลน สามารถแสดงได้ดังนี้

$$\text{จาก } \alpha = \frac{V_y}{V_i} \quad (2.2)$$

$$\text{ดังนั้น } V_y = \alpha \cdot V_i \quad (2.3)$$

$$\text{หรือ } V_y = \alpha \frac{Q}{A_i} \quad (2.4)$$

เมื่อ α คือ อัตราส่วนระหว่างความเร็วภายในไอกอิร่าไซโคลน (V_y) กับความเร็วที่ช่องจ่ายเข้า (V_i) ซึ่งมีค่าอยู่ระหว่าง 0.4 ถึง 0.8 (Bradley, 1965)

จากสมการที่ 2.4 แสดงให้เห็นว่า ความเร็วตามแนวสัมผัสเลี้นรอบวงจะเพิ่มขึ้นเมื่อพื้นที่หน้าตัดของช่องทางเข้าของไอโตรไซโคลนลดลง เมื่อมีอัตราการไหล (Q) คงที่

การจ่ายของสมดุลตามแนวสัมผัสเลี้นรอบวงของไอโตรไซโคลน จะทำให้เกิดลักษณะการหมุนวน 2 ประเภท คือ Free vortex หรือ Outer vortex ซึ่งจะหมุนวนอยู่ภายนอกในทิศทางลงตามแนวสัมผัสเลี้นรอบวง และ Force vortex หรือ Inner vortex ซึ่งจะหมุนขึ้นในทิศทางเดียวกันกับบริเวณใกล้แกนกลางของไอโตรไซโคลน

จาก Helmholtz's law แสดงถึงการหมุนวนของไหลแบบอุดมคติ โดยอาศัยหลักการอนุรักษ์โมเมนตัมเชิงมุม (Angular momentum) โดยไม่พิจารณาแรงต้านทาน จะได้ว่า

$$V_y \times R = \text{constant} \quad (2.5)$$

เมื่อ V_y คือ ความเร็วตามแนวสัมผัสเลี้นรอบวง ซึ่งเปรียบเสมือนความเร็วลัพธ์ที่เกิดขึ้นในไอโตรไซโคลน

R คือ รัศมีของไอโตรไซโคลน

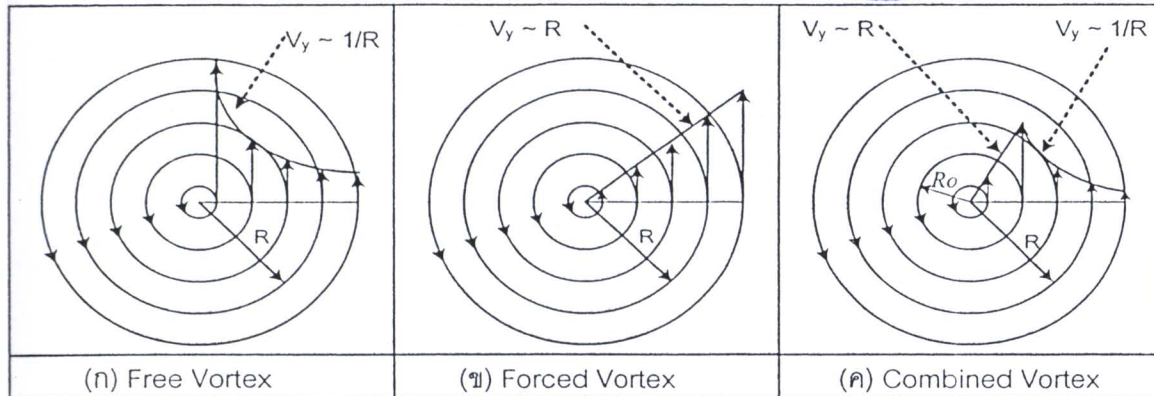
แต่ในทางปฏิบัติจริงจะมีการสูญเสียโมเมนตัมเชิงมุม (Angular momentum) จะทำให้ได้ค่าน้อยกว่าสมการข้างต้น ดังนั้น

$$V_y \times R'' = \text{constant} \quad (2.6)$$

โดยที่ g มีค่าระหว่าง 0.5 ถึง 0.9 และเมื่อคิดว่าการไหลไม่มีแรงเสียดทาน ค่า g จะมีค่าเท่ากับ 1 (Kelsall, 1952 อ้างถึงใน Svarovsky, 1984)

สมการที่ 2.5 และ 2.6 ใช้ได้กับการหมุนวนภายนอก (Outer vortex) นั่นคือ เมื่อเลี้นผ่านศูนย์กลางของไอโตรไซโคลนลดลง ความเร็วตามแนวสัมผัสเลี้นรอบวงจะเพิ่มขึ้น ในทางกลับกัน การหมุนวนภายใน (Inner vortex) ในทิศทางขึ้นใกล้แกนกลางของไอโตรไซโคลน เมื่อเลี้นผ่านศูนย์กลางเพิ่มขึ้น ความเร็วตามแนวสัมผัสเลี้นรอบวงก็จะเพิ่มขึ้น ดังสมการ

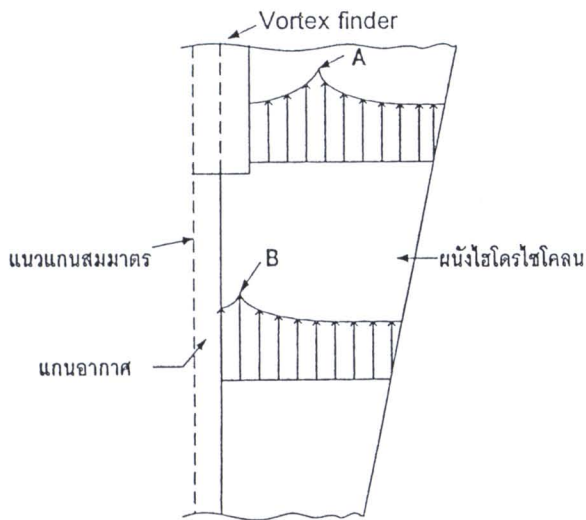
$$\frac{V_y}{R} = \text{constant} \quad (2.7)$$



รูปที่ 2.5 ลักษณะการกระจายความเร็วตามแนวสัมผัสเส้นรอบวงทั้ง 3 ประเภท
(Puprasert, 2004)

จากรูปที่ 2.5 แสดงให้เห็นว่า การหมุนวนแบบ (ค) Combined vortex คือ สภาพจริงที่เกิดขึ้นภายในไอล์ดอร์ไซโคลน ซึ่งประสิทธิวิภาคในการแยกอนุภาคของไอล์ดอร์ไซโคลนจะดีที่สุด เมื่ออนุภาคอยู่ในบริเวณใกล้กับตำแหน่งที่มีความเร็วตามแนวสัมผัสเส้นรอบวงมากที่สุด ดังนั้นจึงควรออกแบบไอล์ดอร์ไซโคลนที่มีมุมกรวยแหลมและยาว เพื่อเพิ่มโอกาสให้อุณหภูมิเข้าสู่ตำแหน่งที่มีความเร็วตามแนวสัมผัสเส้นรอบวงมากขึ้น

Kelsall, 1952 (อ้างถึงใน Svarovsky, 1984) ทดลองพบว่าตามแนวสัมผัสเส้นรอบวงจะมีค่าเพิ่มขึ้นเมื่อรัศมีการหมุนลดลงเข้าใกล้แกนอากาศ ซึ่ง Kelsall ทำการทดลองวัดความเร็วตามแนวสัมผัสเส้นรอบวง (Tangential velocity, V_y) โดยทดลองกับน้ำสะอาดที่มีการผสมอนุภาคอลูมิเนียม (Aluminium) และใช้กล้องไมโครสโคป (Microscope) วัดตำแหน่งที่มีการปะรุงใสในไอล์ดอร์ไซโคลนขนาดเส้นผ่านศูนย์กลาง 76 มิลลิเมตร ผลการทดลองแสดงดังในรูปที่ 2.5 ทั้งนี้ ผลดังกล่าวเป็นค่าความเร็วตามแนวสัมผัสเส้นรอบวงของไอล์ดอร์ไซโคลนเฉพาะในส่วนที่เป็นทรงกรวยไม่รวมส่วนที่เป็นทรงกระบอก



รูปที่ 2.6 การกระจายความเร็วตามแนวสัมผัสเส้นรอบวง (V_y) ภายในไอดีโรไชโคลน (Svarovsky, 1984)

จากรูปที่ 2.6 ความเร็วตามแนวสัมผัสเส้นรอบวงของไอดีโรไชโคลน จะเพิ่มขึ้นเมื่อรัศมีของไอดีโรไชโคลนลดลง ตามสมการที่ 2.6 และ 2.7 แต่บริเวณเหนือของ Vortex finder ไม่สามารถใช้สมการนี้อธิบายได้ เนื่องจากที่บริเวณเหนือของ Vortex finder ขนาดรัศมีที่ให้ความเร็วตามแนวสัมผัสเส้นรอบวงสูงสุดในญี่กุ่กว่าขนาดรัศมีของ Vortex finder ที่ตำแหน่ง A และตำแหน่งที่ความเร็วตามแนวสัมผัสเส้นรอบวงสูงสุดน้อยกว่ารัศมีของ Vortex finder ที่ตำแหน่ง B

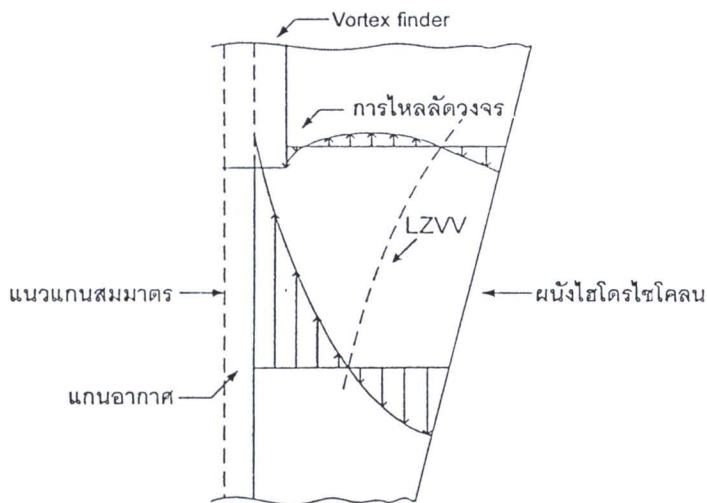
ตำแหน่ง A และ B ต่างเป็นตำแหน่งที่มีความเร็วตามแนวสัมผัสเส้นรอบวงของไอดีโรไชโคลนสูงสุด ซึ่งรัศมีจากขอบผนังไอดีโรไชโคลนไปถึงขอบ Vortex finder จะมีความเร็วตามแนวสัมผัสเส้นรอบวงสูงสุดอยู่ที่ตำแหน่ง A และในทำงเดียวกัน รัศมีจากขอบผนังไอดีโรไชโคลนไปถึงขอบของแกนอากาศ (Air core) จะมีความเร็วตามแนวสัมผัสเส้นรอบวงสูงสุดอยู่ที่ตำแหน่ง B จากปรากฏการณ์นี้แสดงให้เห็นว่า ความเร็วตามแนวสัมผัสเส้นรอบวงของไอดีโรไชโคลนไม่ขึ้นกับตำแหน่งใดๆ ตามแนวแกนของไอดีโรไชโคลน

อย่างไรก็ตาม ความเร็วตามแนวสัมผัสเส้นรอบวง (V_y) ก็ยังเป็นความเร็วของของไอลที่สำคัญที่สุดที่เกิดขึ้นในไอดีโรไชโคลน เนื่องจากมีค่ามากที่สุดจากความเร็วของไอลทั้งหมด

2.2.3.2 ความเร็วตามแนวแกน (Axial velocity, V_z)

ความเร็วตามแนวแกน คือ ความเร็วที่มีทิศทางตามแนวแกนของไอดีโรไชโคลนโดยอาจมีทิศทางขึ้นหรือลง นั่นคือ การหมุนวนภายนอก (Outer vortex) ที่มีทิศทางลงสู่ทางออกด้านล่าง ในขณะเดียวกันการหมุนวนภายใน (Inner vortex) มีทิศทางขึ้นไปสู่ทางออกด้านบน จากทิศทางการ

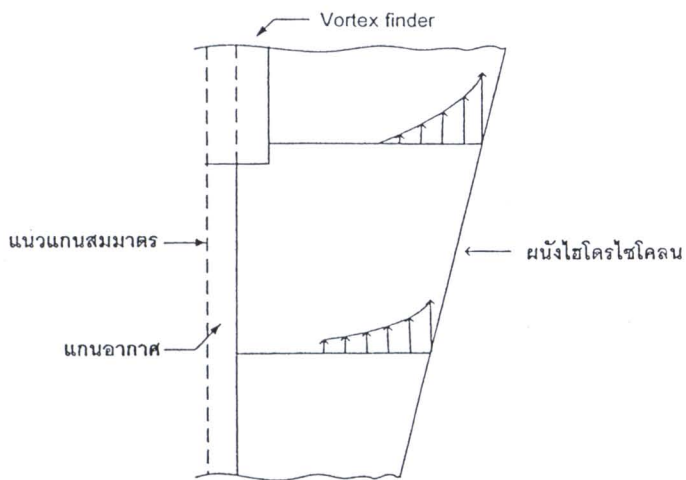
ในลักษณะการหมุนวนภายในและการหมุนวนภายนอกที่มีพิธีทางไอลส์วนทางกัน จะทำให้เกิดตำแหน่งที่มีความเร็วตามแนวแกนเท่ากับศูนย์ (Locus of Zero Vertical Velocity หรือ LZVV) ซึ่งตำแหน่งดังกล่าวจะอยู่ระหว่างการหมุนวนภายนอก (Outer vortex) และการหมุนวนภายใน (Inner vortex) และเป็นตำแหน่งที่ความเร็วตามแนวสัมผัสเลี้ยวรอบวงมีค่ามากที่สุด ดังแสดงในรูปที่ 2.7 และบริเวณด้านบนของไอดร่าไซโคลนตรงขอบด้านนอกของ Vortex finder จะเกิดการไหลลัดวงจร (Short circuit flow) ขึ้นอีกด้วย



รูปที่ 2.7 การกระจายความเร็วตามแนวแกน (V_z) ภายในไอดร่าไซโคลน (Svarovsky, 1984)

2.2.3.3 ความเร็วตามแนวรัศมี (Radial velocity, V_r)

ความเร็วตามแนวรัศมี คือ ความเร็วที่มีพิธีทางตั้งจากกับแนวแกนของไอดร่าไซโคลน และเป็นความเร็วที่มีค่าน้อยที่สุดจากความเร็วของไอลส์ทั้ง 3 ชนิดภายในไอดร่าไซโคลน ซึ่งความเร็วในแนวแกนรัศมีจะมีค่าสูงที่สุดที่บริเวณหน้าขอบของ Vortex finder ใกล้กับผนังของไอดร่าไซโคลน ดังแสดงในรูปที่ 2.8



รูปที่ 2.8 การกระจายความเร็วตามแนวสัมผัสรัศมี (V_x) ภายในไฮดร่าไซโคลน (Svarovsky, 1984)

2.2.4 กฎของสโตค (Stokes's law)

กฎของสโตคเป็นกฎพื้นฐานที่ใช้อธิบายพฤติกรรมการแยกของแข็งโดยไฮดร่าไไซโคลน โดยมีสมมติฐานว่าอนุภาคนั้นมีรูปร่างเป็นทรงกลม และเมื่อเคลื่อนที่เข้าไปในระบบที่พิจารณา อนุภาคจะตกรอกอนลงเนื่องจากความเร่งโน้มถ่วงของโลก ซึ่งการเคลื่อนที่ลงของอนุภาคจะมีแรงต้านที่เรียกว่า แรงลาก (Drag force) และความหนืดของของเหลว (Viscosity) ที่มีพิธทางตรงข้าม กับการเคลื่อนที่ของอนุภาค

แรงสำคัญที่ทำให้เกิดการแยกของอนุภาคภายในไฮดร่าไไซโคลน คือ แรงหนึ่งคุณย์กกลางซึ่ง เกิดจากการหมุนของกระแส ดังนั้นแรงหนึ่งคุณย์กกลางจะมีค่าเท่ากับผลคูณของมวลกับความเร่ง หนึ่งคุณย์กกลาง

$$F = \frac{m \cdot V_y^2}{R} \quad (2.8)$$

ประสิทธิภาพการแยกในไฮดร่าไไซโคลน ขึ้นอยู่กับความเร็วของการไหลเข้าไฮดร่าไไซโคลน การเพิ่มความเร็วของการไหลเข้าจะเป็นการเพิ่มประสิทธิภาพของไฮดร่าไไซโคลน ปรากฏการณ์การแยกระหว่างของแข็งในไฮดร่าไไซโคลนสามารถอธิบายได้จากกฎของสโตค (Stokes's law) (Metcalf และ Eddy, 2003)

$$V_p = \frac{\Delta \rho \cdot d_p^2 \cdot g}{18\mu} \quad (2.9)$$

เมื่อ	V_p	คือ ความเร็วในการตกตะกอน (Terminal velocity) หน่วย เมตรต่อวินาที
	$\Delta\rho$	คือ ความแตกต่างระหว่างความหนาแน่นของอนุภาคและของเหลว หน่วย กิโลกรัมต่อลูกบาศก์เมตร
	d_p	คือ ขนาดเส้นผ่าศูนย์กลางของอนุภาค (Particle diameter) หน่วย เมตร
	g	คือ ความเร่งเนื่องจากแรงโน้มถ่วง (Acceleration due to gravity) มีค่าเท่ากับ 9.81 เมตรต่อวินาที ²
	μ	คือ ความหนืดพลศาสตร์ของของเหลว (Dynamic viscosity) หน่วยนิวตัน-วินาทีต่อตารางเมตร

โดยทั่วไปในกระบวนการบำบัดน้ำ นิยมใช้การแยกอนุภาคด้วยการตกตะกอนด้วยแรงโน้มถ่วงของโลก สำหรับเครื่องมือการแยกอื่นๆ สามารถทำการเพิ่มความเร่งนี้เพื่อให้ความเร็วในการตกตะกอน (V_p) เพิ่มขึ้นได้ และในกรณีของไอโอดรไชโคลนความเร่งหนึ่งศูนย์กลางภายในไอโอดรไชโคลนจะมีค่ามากกว่าความเร่งเนื่องจากแรงโน้มถ่วงของโลกมาก

ความสัมพันธ์ระหว่างความเร่งหนึ่งศูนย์กลางภายในไอโอดรไชโคลนกับความเร่งเนื่องจากแรงโน้มถ่วงของโลก สามารถแสดงได้ดังนี้ (Puprasert, 2004)

$$\zeta = \frac{V_y^2}{R \cdot g} \quad (2.10)$$

เมื่อ	ζ	คือ ความเร่งหนึ่งศูนย์กลางสัมพันธ์ภายในไอโอดรไชโคลน (Relative centrifugal acceleration in hydrocyclone) หน่วย เมตรต่อวินาที ²
	V_y	คือ ความเร็วตามแนวสัมผัสเส้นผ่านศูนย์กลางภายในไอโอดรไชโคลน หน่วย เมตรต่อวินาที
	R	คือ รัศมีของไอโอดรไชโคลน (บริเวณส่วนที่เป็นทรงกระบอก) หน่วย เมตร
	g	คือ ความเร่งเนื่องจากแรงโน้มถ่วง มีค่าเท่ากับ 9.81 เมตรต่อวินาที ²

ดังนั้น Stokes's law ในกรณีของไอโอดรไชโคลน เป็นดังสมการต่อไปนี้

$$V_p = \frac{\Delta\rho \cdot d_p^2 \cdot \zeta}{18\mu} \quad (2.11)$$

จากสมการกฎของสโตคจะเห็นได้ว่าตัวแปรที่มีผลสำคัญต่อความเร็วในการแยกอนุภาค มีต่างๆ ดังนี้

1. ความแตกต่างระหว่างความหนาแน่นของอนุภาคสองเฟส, $\Delta\rho$

ในงานวิจัยนี้ได้ศึกษาการแยกอนุภาคของแข็งออกจากของเหลว เมื่อของผสมนั้นมีความหนาแน่นแตกต่างกัน โดยความแตกต่างระหว่างความหนาแน่นของอนุภาคสองเฟส ($\Delta\rho$) นั่นหมายถึง ค่าความแตกต่างระหว่างความหนาแน่นของอนุภาคของแข็ง (ρ_p) และความหนาแน่นของน้ำ (ρ_w), ($\Delta\rho = \rho_p - \rho_w$) นั่นเอง ในการแยกของแข็งออกจากน้ำด้วยไฮโดรไไซโคลนจะไม่เกิดขึ้น หากความหนาแน่นของทั้งสองเฟสไม่มีความแตกต่างกัน ($\Delta\rho = 0$) ซึ่งจะทำให้ความเร็วในการแยกอนุภาค (V_p) ดังสมการที่ 2.9 มีค่าเท่ากับศูนย์ด้วย เป็นผลทำให้ไฮโดรไไซโคลนไม่สามารถแยกอนุภาคทั้งสองเฟสออกจากกันได้

2. ขนาดเส้นผ่านศูนย์กลางของอนุภาคของแข็ง, d_p

ตัวแปรที่สำคัญอีกด้วยหนึ่งก็คือ ขนาดอนุภาคของแข็ง ซึ่งมาจากการกฎของสโตค (Stokes's law equation) จะเห็นได้ว่า d_p อยู่ในรูปของกำลังสอง (d_p^2) นั่นหมายถึง ถ้าอนุภาคมีขนาดใหญ่ ความเร็วในการแยกอนุภาค (V_p) ก็จะเพิ่มมากขึ้นตามไปด้วย กล่าวคือ ขนาดอนุภาคของแข็งจะมีผลสำคัญต่อการเกิดความเร็วในการแยกอนุภาคในไฮโดรไไซโคลนมากกว่าตัวแปรอื่นๆ ดังนั้น หากสามารถทำการเพิ่มขนาดอนุภาคของแข็งได้ จะทำให้มีประสิทธิภาพการแยกอนุภาคด้วยไฮโดรไไซโคลนเกิดขึ้นได้ดี

3. ความหนืดของไอล, μ

ความหนืดของไอลส่งผลต่ocommunity ความเร็วในการแยกอนุภาค (V_p) เมื่อค่าความหนืดของไอลสูงจะส่งผลทำให้ความเร็วในการแยกอนุภาคต่ำ ในทางตรงกันข้าม ถ้าความหนืดของไอลมีค่าต่ำจะมีผลทำให้ความเร็วในการแยกอนุภาคสูง และความหนืดยังสัมพันธ์กับอุณหภูมิของไอลด้วย โดยถ้าหากอุณหภูมิสูงขึ้นจะทำให้ความหนืดของไอลต่ำ ดังนั้น เพื่อให้ค่าความเร็วในการแยกอนุภาคสูงและส่งผลให้มีประสิทธิภาพในการแยกอนุภาคในไฮโดรไไซโคลนมากขึ้น ควรให้ของไอลมีความหนืดต่ำหรือความมีอุณหภูมิสูงนั่นเอง

2.2.5 พารามิเตอร์ต่างๆ ที่มีผลต่อประสิทธิภาพการทำงานของไฮโดรไไซโคลน

1. ขนาดเส้นผ่านศูนย์กลางของไฮโดรไไซโคลน, D_C

เส้นผ่านศูนย์กลางของไฮโดรไไซโคลน วัดที่ฐานของส่วนที่เป็นกรวยหรือขนาดเส้นผ่านศูนย์กลางของทรงกระบอก เมื่อเบรียบเทียบประสิทธิภาพของไฮโดรไไซโคลนในแบ่งของขนาดตัด (Cut size, x_{50}) โดยที่อัตราการไอล (Q) คงที่ พบว่า ความสัมพันธ์ระหว่างขนาดตัด (x_{50}) และความดันลด (Pressure drop, Δp) ที่มีต่อขนาดเส้นผ่านศูนย์กลางของไฮโดรไไซโคลน (D_C) แสดงได้ดังนี้

$$x_{50} \propto D_C^x \quad (2.12)$$

$$\Delta p \propto D_C^y \quad (2.13)$$

โดยที่ x มีค่าอยู่ระหว่าง 1.36 ถึง 1.52 และ y มีค่าอยู่ระหว่าง -3.6 ถึง -4.1 (Bradley, 1965) ซึ่งจะเห็นได้ว่า ขนาดเส้นผ่านศูนย์กลางของไฮโดรไโซลอนเล็กๆ จะทำให้ขนาดอนุภาคที่แยกออกมากได้เล็กลงตามไปด้วย และเมื่อขนาดเส้นผ่านศูนย์กลางของไฮโดรไโซลอนใหญ่ขึ้น ค่าความดันลดลงด้วยเช่นกัน

ความสัมพันธ์ดังสมการที่ (2.12) และ (2.13) เป็นการกล่าวถึงการเปรียบเทียบเมื่ออัตราการไหลคงที่ และความสัมพันธ์ระหว่างอัตราการไหล (Q) และขนาดเส้นผ่านศูนย์กลางของไฮโดรไโซลอน (D_C) ที่ความดันลด (Δp) คงที่ เป็นดังนี้

$$Q \propto D_C^z \quad (2.14)$$

โดยที่ z มีค่าอยู่ระหว่าง 1.8 ถึง 2.0 (Bradley, 1965)

ความสัมพันธ์ระหว่างขนาดตัด (x_{50}) และขนาดเส้นผ่านศูนย์กลางของไฮโดรไโซลอน (D_C) ที่ความดันลด (Δp) คงที่ เป็นดังนี้

$$x_{50} \propto D_C^x \quad (2.15)$$

โดยที่ x มีค่าอยู่ระหว่าง 0.41 ถึง 0.5 (Bradley, 1965)

แสดงให้เห็นว่า เมื่อเส้นผ่านศูนย์กลางของไฮโดรไโซลอนมีขนาดเล็กลง จะทำให้ขนาดตัด (x_{50}) ลดลงด้วยเช่นกัน นั่นหมายถึง ไฮโดรไโซลอนสามารถแยกอนุภาคที่มีขนาดเล็กลงไปได้อีก

2. ขนาดเส้นผ่านศูนย์กลางของช่องการไหล (Aperture diameter)

ในการออกแบบและควบคุมการทำงานของไฮโดรไโซลอนนั้น ขนาดเส้นผ่านศูนย์กลางของช่องการไหลมีความสำคัญมากต่อประสิทธิภาพของไฮโดรไโซลอน ขนาดเส้นผ่านศูนย์กลางของช่องการไหลในไฮโดรไโซลอนจะประกอบไปด้วย เส้นผ่านศูนย์กลางของช่องจ่ายเข้า (Feed in) เส้นผ่านศูนย์กลางของช่องทางออกด้านบน (Overflow) และเส้นผ่านศูนย์กลางของช่องทางออกด้านล่าง (Underflow) ซึ่งผลของขนาดเส้นผ่านศูนย์กลางของช่องการไหลทั้ง 3 ทาง แสดงดังรายละเอียดต่อไปนี้

2.1 ขนาดเส้นผ่านศูนย์กลางของช่องจ่ายเข้า (Feed-in diameter, D_i)

ขนาดของช่องจ่ายเข้า (D_i) ควรจะให้ค่าโมเมนตัม (QV) ที่จ่ายเข้าไปมีค่าสูงสุด เพื่อกำให้ความเร็วเฉลี่ยที่ทางเข้าเท่ากับหรือใกล้เคียงกับความเร็วตามแนวสัมผัสเส้นรอบวงที่รัศมีเฉลี่ยทางเข้า (mean radius of entry) การเพิ่มขนาดเส้นผ่านศูนย์กลางของช่องจ่ายเข้า จะทำให้โมเมนตัมเพิ่มขึ้นจนถึงข่วงค่าหนึ่งแล้วจึงลดลง ดังนั้นในการออกแบบขนาดของช่องจ่ายเข้าจึงควรเลือกช่วงที่มีค่าโมเมนตัมสูงสุด (Bradley, 1965)

Chaston, 1965 (อ้างถึงใน Bradley, 1965) ศึกษาถึงขนาดที่เหมาะสมของเส้นผ่านศูนย์กลางของช่องจ่ายเข้า โดยค่าที่เหมาะสมเป็นที่ยอมรับและใช้กันอยู่ทั่วไป คือ $\frac{D_c}{6}$ ถึง $\frac{D_c}{7}$ เมื่อ D_c คือ ขนาดเส้นผ่านศูนย์กลางของไอดโรไซโคลน

การออกแบบขนาดของช่องจ่ายเข้าของไอดโรไซโคลนมีความสำคัญ เนื่องจากจะส่งผลต่อบริมาณน้ำที่สามารถนำบัดได้ (Capacity) ประสิทธิภาพในการแยกอนุภาค (Separation efficiency) และความดันลด (Pressure drop) ของไอดโรไซโคลน การออกแบบทางเข้าตามแนวสัมผัสเส้นรอบวงต้องคำนึงถึงผลกระทบต่อ Vortex finder เนื่องจากอาจเกิดการปั่นป่วนของของในหลังทำให้เกิดการสึกกร่อน

2.2 ขนาดเส้นผ่านศูนย์กลางของช่องทางออกด้านบน (Overflow diameter, D_o)

ขนาดเส้นผ่านศูนย์กลางของช่องทางออกด้านบนส่งผลต่อประสิทธิภาพของไอดโรไซโคลนใน 2 ลักษณะ คือ

1. การไหลลัดวงจร (Short circuit flow) คือ การไหลผ่านช่วงบนของไอดโรไซโคลน และไหลลงที่ผนังด้านนอกของช่องทางออกด้านบน หรือ Vortex finder โดยที่ไม่ผ่านเข้าสู่การหมุนวนภายในไอดโรไซโคลน

การไหลลัดวงจรเป็นลักษณะการไหลที่นำอนุภาคหายใจหลอกด้านบน (Overflow) ซึ่งเกิดจากการเปลี่ยนแปลงขนาดเส้นผ่านศูนย์กลางของช่องทางออกด้านบน (D_o) ถ้ารัศมีด้านนอกของช่องทางออกด้านบนมีขนาดใหญ่กว่าตำแหน่งที่มีความเร็วตามแนวสัมผัสสูงสุด อนุภาคที่อยู่ในเส้นทางการไหลลัดวงจร จะหลอกลับเข้ามาในบริเวณของการเพิ่มความเร็วตามแนวสัมผัสภายในไอดโรไซโคลน และเพิ่มแรงหนีศูนย์กลาง ทำให้ของไหลเคลื่อนที่ไปตามขอบด้านล่างของ Vortex finder และมีโอกาสที่จะไหลเข้ามาสู่กระบวนการแยกอนุภาคอีกครั้ง ในทางตรงกันข้าม ถ้ารัศมีด้านนอกของช่องทางออกด้านบนมีขนาดเล็กกว่าตำแหน่งที่มีความเร็วตามแนวสัมผัสสูงสุด โอกาสที่อนุภาคจะไหลย้อนกลับไปยังการหมุนวนภายในไอดโรไซโคลนก็จะน้อยลงไปด้วย

ดังนั้นเมื่อขนาดเส้นผ่านศูนย์กลางของช่องทางออกด้านบนลดลง จะส่งผลทำให้ประสิทธิภาพในการแยกอนุภาคของไฮดร่าเซลล์มีค่าลดลงด้วย

2. ในกรณีถ้าขนาดของช่องทางออกด้านบน (D_o) มีขนาดใหญ่กว่าเส้นผ่านศูนย์กลางของ LZVV (Locus of zero vertical velocity) ซึ่งเป็นบริเวณที่ความเร็วตามแนวแกนภายในไฮดร่าเซลล์เท่ากับศูนย์ โดย LZVV จะมีขนาดประมาณ 0.43 เท่าของเส้นผ่านศูนย์กลางของไฮดร่าเซลล์ ($0.43 D_C$) เป็นเหตุให้การในลดตามแนวรัศมีลดลง ทำให้ออนุภาคไหลแยกออกไปทางด้านบนโดยไม่เข้าสู่กระบวนการแยกอนุภาคในไฮดร่าเซลล์ เกิดการในลดลงจริง

Kelsall, 1953 (อ้างถึงใน Svarovsky, 1984) พบว่าประสิทธิภาพในการแยกอนุภาคขนาดใหญ่จะลดลง เมื่อ $D_o = \frac{D_C}{12}$ หรือเส้นผ่านศูนย์กลางด้านนอก Vortex finder มีค่าเท่ากับ $\frac{D_C}{6}$

Bradley, 1965 แนะนำว่าขนาดเส้นผ่านศูนย์กลางของช่องทางออกด้านบน (D_o) ที่มากที่สุดและน้อยที่สุดสามารถพิจารณาได้จากลักษณะการในลด โดยค่ามากที่สุดเท่ากับ $\frac{D_C}{2.3}$ ค่าน้อยที่สุดเท่ากับ $\frac{D_C}{8}$ ค่าที่ทำให้ปริมาณอนุภาคขนาดใหญ่ออกที่ช่องทางออกด้านบนน้อยที่สุดมีค่าเท่ากับ $\frac{D_C}{7}$ และขนาดช่องทางออกด้านบน (D_o) ควรจะใหญ่กว่าช่องทางจ่ายเข้า (D_i) โดยอาจมีค่า $D_o = D_i$ ไปจนถึง $D_o = 1.6D_i$ เพื่อป้องกันการกัดเซาะผังของไฮดร่าเซลล์จากการจ่ายของผสมเข้าไป นอกจากนี้ค่า $2D_i + D_o$ ควรมีค่าน้อยกว่า D_C

ความสัมพันธ์ของขนาดเส้นผ่านศูนย์กลางทั้งสาม สามารถแสดงได้ดังสมการที่ 2.16

$$2D_i + D_o = 0.4 - 0.6D_C \quad (2.16)$$

และความสัมพันธ์ของขนาดเส้นผ่านศูนย์กลางทั้งสามสำหรับไฮดร่าเซลล์ขนาดเล็ก คือ

$$2D_i + D_o = 0.35 - 0.7D_C \quad (2.17)$$

Rietema, 1961 (อ้างถึงใน Bradley, 1965) เสนอให้ขนาดเส้นผ่านศูนย์กลางของช่องทางออกด้านบน (D_o) ควรมีค่าประมาณ $0.16D_C$ ถึง $0.5D_C$ และค่าที่เหมาะสมที่ Rietema เสนอเท่ากับ $0.34D_C$

2.3 ขนาดเส้นผ่านศูนย์กลางของช่องทางออกด้านล่าง (Underflow diameter, D_u)

ขนาดเส้นผ่านศูนย์กลางของช่องทางออกด้านล่าง (D_u) โดยส่วนใหญ่แล้วจะเป็นขนาดที่แปรผันได้หรือเป็นลักษณะที่ปรับเปลี่ยนได้ เพื่อควบคุมอัตราการไหลออกทางด้านล่าง ดังนั้นขนาดเส้นผ่านศูนย์กลางของช่องทางออกด้านล่างจึงขึ้นอยู่กับลักษณะการใช้งานมากกว่าที่จะกำหนดเป็นค่าคงที่

ปริมาณอัตราการไหลออกทางด้านล่างของไฮโดรไซโคลน (Q_u) ที่ห้องที่สุดจะเท่ากับปริมาณของอนุภาคของแข็งที่แยกออกจากรวมกับปริมาณของเหลวที่ปราศจากอนุภาคในช่องว่างระหว่างอนุภาคของแข็ง นั่นคือ นอกจากจะขึ้นกับการใช้งานแล้วยังขึ้นกับการกระจายขนาดอนุภาค (Size distribution) ในเส้นทางไหลลงสู่ทางออกด้านล่าง (Underflow)

ขนาดเส้นผ่านศูนย์กลางของช่องทางออกด้านล่างของไฮโดรไซโคลน (D_u) โดยทั่วไปแล้วจะอยู่ในช่วง $\frac{D_c}{10}$ ถึง $\frac{D_c}{5}$ และควรมีค่า $D_u = \frac{D_o}{3}$ เมื่อ $D_o = \frac{D_c}{5}$ ภายใต้สภาวะความดันคงที่ ซึ่งจะทำให้ค่าอัตราส่วนระหว่างอัตราการไหลเข้า (Feed flowrate) กับอัตราการไหลออกที่ช่องทางออกด้านล่าง (Underflow flowrate) หรือ $\frac{Q_f}{Q_u}$ มีค่าประมาณ 10 เบอร์เซ็นต์ ขนาดเส้นผ่านศูนย์กลางของช่องทางออกด้านล่าง (D_u) อาจถือได้ว่าไม่มีผลกระทบอย่างมีนัยสำคัญต่อประสิทธิภาพในการแยกอนุภาคของไฮโดรไซโคลนหรืออาจมีผลกระทบเพียงเล็กน้อย

Kelsall, 1953 (อ้างถึงใน Bradley, 1965) พบว่าประสิทธิภาพของไฮโดรไซโคลนจะลดลงเพียงเล็กน้อย เมื่อขนาดเส้นผ่านศูนย์กลางของช่องทางออกด้านล่าง (D_u) ลดลง อีกทั้งยังส่งผลกระทบเพียงเล็กน้อยต่อกลไนต์ความดันลด สำหรับไฮโดรไซโคลนขนาดใหญ่ ซึ่งจะมีเส้นผ่านศูนย์กลางของช่องการไหลต่างๆ ในปฏิบัติงานเป็นด้วย ในขณะเดียวกันไฮโดรไซโคลนขนาดเล็ก ก็จะได้รับผลกระทบเมื่อมีการเปลี่ยนแปลงขนาดเส้นผ่านศูนย์กลางของช่องทางออกด้านล่าง (D_u) ให้มีค่าประมาณ $\frac{D_c}{7}$

ดังนั้น สามารถสรุปผลของช่องทางออกทั้งสามทาง ในรูปคณิตศาสตร์ที่มีต่อไฮโดรไซโคลน

$$D_c > 2D_i + D_o + 2t \quad (2.18)$$

เมื่อ D_c คือ ขนาดเส้นผ่านศูนย์กลางของไฮโดรไซโคลน

D_i คือ ขนาดเส้นผ่านศูนย์กลางของช่องจ่ายเข้า

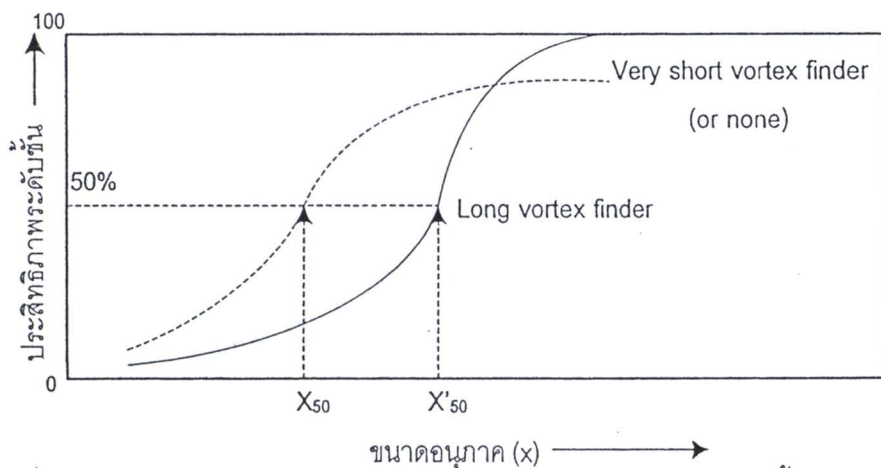
D_o คือ ขนาดเส้นผ่านศูนย์กลางของช่องทางออกด้านบน

๑ คือ ความหมายของผนัง Vortex finder

3. ความยาว ขนาด และรูปทรงของ Vortex finder (Vortex finder dimensions)

Vortex finder คือ ช่องทางที่น้ำไสออกทางด้านบน (Overflow) และมีไว้เพื่อป้องกัน การหลัดวงจรด้วย โดยอนุภาคที่จ่ายเข้าไปในไฮดร่าเซลล์จะเคลื่อนที่ลงตามผนังด้านนอกของ Vortex finder เข้าสู่ตัวเรือนของไฮดร่าเซลล์ ความยาวของ Vortex finder จะส่งผลต่อ ประสิทธิภาพในการแยกอนุภาคของไฮดร่าเซลล์ในแต่ของขนาดตัด (x_{50}) โดยที่การเพิ่มความยาวของ Vortex finder จะทำให้อนุภาคมีเวลาการแยกออกจากน้ำภายในไฮดร่าเซลล์มากขึ้น และเป็นการเพิ่มประสิทธิภาพในการแยกอนุภาคขนาดใหญ่ ในขณะเดียวกันก็จะเป็นการลด ประสิทธิภาพในการแยกอนุภาคขนาดละเอียด ซึ่งควรที่จะหลอกไปที่ทางออกด้านบน (Overflow) พร้อมกับน้ำไสแต่ย้อนกลับมาในหลอกที่ทางออกด้านล่างของไฮดร่าเซลล์ ดังนั้น ความยาวของ Vortex finder ที่เหมาะสมจะช่วยในการกระจายขนาดของกลุ่มที่จ่ายเข้าไปและ จุดตัด (Cut point) ซึ่งสัมพันธ์กับการกระจายของขนาดนั้นๆ

เนื่องจากความยาวของ Vortex finder ส่งผลต่อประสิทธิภาพในการแยกอนุภาคของ ไฮดร่าเซลล์ในแต่ของขนาดตัด (x_{50}) ซึ่งจะมีค่าลดลงเมื่อความยาวของ Vortex finder ลดลง ดัง แสดงในรูปที่ 2.9 และจะมีค่าต่ำสุดเมื่อไม่มี Vortex finder ในกรณีนี้จะส่งผลทำให้ประสิทธิภาพ ในการแยกอนุภาคขนาดใหญ่ลดลง กล่าวคือ อนุภาคขนาดใหญ่ดังกล่าวจะหลอกสู่ทางออก ด้านบน (Overflow) โดยเส้นทางการหลัดวงจร



รูปที่ 2.9 ผลของการแยกของ Vortex finder ต่อประสิทธิภาพระดับน้ำ และขนาดตัด (Svarovsky, 1984)

จากที่กล่าวมาข้างต้นจึงทำให้มีการทดลองโดยใช้ไฮดร่าเซลล์ขนาดใหญ่ที่ใช้ใน โรงงาน ซึ่งมีขนาดเส้นผ่านศูนย์กลาง 24 มิลลิเมตร ทำการแยกของผสมที่มีอนุภาคขนาดใหญ่ที่ความดัน ต่ำ จากผลการทดลอง พบว่า ความยาวของ Vortex finder ไม่มีผลกระทบต่อประสิทธิภาพในการ

แยกอนุภาคของไฮโดรไซโคลน อาจอธิบายได้ว่า เกิดจากการที่อนุภาคตกลงมาด้วยแรงโน้มถ่วง ของโลก เป็นเหตุให้อนุภาคในหลอดออกจากเส้นการไหลลดลงจรเข้าสู่การไหลแบบปกติภายในไฮโดรไซโคลนได้

Bradley, 1965 ได้ศึกษาถึงรูปทรงที่ต่างกันของ Vortex finder พบว่า ค่าที่เหมาะสมของความยาวของ Vortex finder โดยทั่วไปแล้วจะให้มีระยะตามแนวแกนของไฮโดรไซโคลนให้เพียงพอระหว่างระดับห้องของซ่องจ่ายเข้า (Feed-in) กับส่วนปลายของ Vortex finder โดยที่ส่วนปลายของ Vortex finder ไม่ควรอยู่ในระดับเดียวกันกับห้องห้องท่อจ่ายเข้าและไม่ควรอยู่ใกล้กับบริเวณหน้าตัดที่เป็นรอยต่อระหว่างส่วนทรงกระบอกและทรงกรวย เนื่องจากบริเวณนี้มีการกระจายอนุภาคแบบบันปวน อาจทำให้มีอนุภาคขนาดใหญ่ปนอยู่ในพร้อมกับน้ำใสที่ออกทางออกด้านบน (Overflow) ได้

ขนาดเลี้นผ่านศูนย์กลางที่ผ่านด้านนอกของ Vortex finder ก็มีความสำคัญอีกเช่นกัน จากที่ได้กล่าวไปแล้วว่า เมื่อลดขนาดเลี้นผ่านศูนย์กลางของซ่องออกทางออกด้านบน (D_o) จะทำให้ประสิทธิภาพในการแยกอนุภาคของไฮโดรไซโคลนลดลง เนื่องจากการไหลลดลงจะต้องดำเนินการที่มีความเร็วตามแนวสัมผัสเลี้นรอบวงของไฮโดรไซโคลน ในขณะเดียวกันก็พบข้อดีของการลดขนาดเลี้นผ่านศูนย์กลางของซ่องออกทางออกด้านบน เมื่อควบคุมให้ผ่านด้านนอกของ Vortex finder มีขนาดเลี้นผ่านศูนย์กลางใหญ่กว่าตำแหน่งที่มีความเร็วตามแนวสัมผัสเลี้นรอบวงสูงสุด โดยขนาดเลี้นผ่านศูนย์กลางด้านนอกของ Vortex finder ที่เหมาะสมจะไม่มีความมีค่าเกิน $D_C - 2D_o$ และความยาวของ Vortex finder ควรมีค่าเท่ากับ $\frac{D_C}{3}$

4. ลักษณะทางกายภาพของตัวเรือนไฮโดรไซโคลน (Body dimensions)

ไฮโดรไซโคลนจะประกอบไปด้วยส่วนหลักๆ คือ ส่วนที่เป็นทรงกระบอกและส่วนที่เป็นทรงกรวย การเปลี่ยนขนาดหน้าตัดของไฮโดรไซโคลนนั้นมีข้อเสียเพียงเล็กน้อย ดังนั้น จึงเกิดการทำไฮโดรไซโคลนแบบไม่มีส่วนทรงกระบอก หรือการทำไฮโดรไซโคลนขนาดเล็กโดยไม่มีส่วนกรวย เช่นกัน อย่างไรก็ตามผลกระทบจากการเปลี่ยนขนาดหน้าตัดต่อไฮโดรไซโคลนที่มีมุนกรวยเล็กๆ มีเพียงเล็กน้อยเท่านั้น และยังคงมีการทำส่วนกรวยเอาไว้เพื่อช่วยในแง่เชิงการผลิตไฮโดรไซโคลน ค่าที่เหมาะสมในการออกแบบความยาวของไฮโดรไซโคลน คือ $2.7D_C$ ถึง $7.7D_C$ (Bradley, 1965)

Rietema, 1961 (อ้างถึงใน Bradley, 1965) กล่าวว่า สัดส่วนระหว่างส่วนทรงกรวย กับส่วนทรงกรวยไม่มีความมีค่ามากเกินไป โดยแนะนำว่า ความยาวทั้งหมดของไฮโดรไซโคลนควรมีค่าประมาณ $5D_C$ และควรมีมุนกรวยเล็กกว่า 30 องศา

Dahlstrom, 1949 (อ้างถึงใน Bradley, 1965) กล่าวว่าการเพิ่มความยาวทั้งหมดของไฮดร่าเซลล์ คือ การเพิ่มความยาวของส่วนกว้างหรือการลดความกว้างของไฮดร่าเซลล์อย่างนึงนี้ ทำให้ปริมาณน้ำที่นำบัดได้และประสิทธิภาพในการแยกอนุภาคของไฮดร่าเซลล์เพิ่มขึ้น ได้มีการทดลองเปรียบเทียบประสิทธิภาพระหว่างไฮดร่าเซลล์ที่มีมูนกรวย 9 องศา และ 20 องศา ความยาวไฮดร่าเซลล์ $9\frac{9}{16}$ นิ้ว กับ $19\frac{3}{8}$ นิ้ว และ $9\frac{5}{16}$ นิ้ว พบว่าที่ความจุเดียวกัน ไฮดร่าเซลล์ที่ยาวกว่าจะลดค่าความดันลด (Pressure drop) ลงครึ่งหนึ่ง ในขณะที่เมื่อเพิ่มมูนกรวยจาก 9 องศา เป็น 20 องศา โดยมีความยาวทั้งหมดเท่าเดิม พบว่ามูนไม่ได้ทำให้มีการเปลี่ยนแปลงค่าความดันลด (Pressure drop) ต่อความจุ (Capacity) แต่อย่างใด นั้นคือ ณ ความดันลดใดๆ เมื่อความยาวของไฮดร่าเซลล์มากขึ้น ความจุก็จะสูงขึ้น จึงสามารถเพิ่มอัตราการนำบัดน้ำของไฮดร่าเซลล์ได้

Dahlstrom, 1949 (อ้างถึงใน Bradley, 1965) แสดงผลการเปรียบเทียบประสิทธิภาพในการแยกอนุภาคของไฮดร่าเซลล์จะเพิ่มขึ้น เมื่อมูนกรวยลดจาก 45 องศา เป็น 15 องศา

Bradley, 1960 (อ้างถึงใน Bradley, 1965) ทำการเปรียบเทียบขนาดมูนของไฮดร่าเซลล์ ระหว่างไฮดร่าเซลล์มูน 9 องศา และ 20 องศา พบว่าไฮดร่าเซลล์มูน 20 องศา ให้ขนาดตัด (x_{50}) เล็กกว่าที่อัตราไฟล์เดียวกัน จากความสัมพันธ์ระหว่างความดันลดและอัตราการไฟล์ และจากการสังเกตค่าของขนาดตัดที่เปลี่ยนไป พบว่า ที่ความดันลดที่กำหนดไว้นั้น ไฮดร่าเซลล์มูน 9 องศา จะให้ปริมาณอัตราการจ่ายเข้าสูงกว่าโดยมีประสิทธิภาพในการแยกอนุภาคเท่ากัน สามารถอธิบายได้ว่า การเปลี่ยนมูนในช่วง 9 องศา ถึง 20 องศา ไม่ส่งผลกระทบต่อประสิทธิภาพในการแยกอนุภาคที่ความดันลดเดียวกัน

Svarovsky, 1984 กล่าวว่าในการออกแบบไฮดร่าเซลล์ ขนาดมูนกรวยมีความสำคัญเช่นกัน คือ เมื่อลดความกรวยลงจะส่งผลทำให้ขนาดตัดลดลงด้วย ซึ่งแสดงถึงประสิทธิภาพในการแยกอนุภาคของไฮดร่าเซลล์ก็มากขึ้น อย่างไรก็ตาม ข้อดีของมูนกรวยที่กว้าง คือ จะทำให้เกิดการอุดตันที่ปลายกรวยน้อยลง นอกจากนี้ ถ้าขนาดเส้นผ่านศูนย์กลางของช่องทางออกด้านล่าง (D_u) เพิ่มมากขึ้น จะทำให้ขนาดเส้นผ่านศูนย์กลางของแกนอากาศ (Air core) เพิ่มขึ้นด้วย โดยทั่วไปมูนของไฮดร่าเซลล์ความกว้างประมาณ 6 องศา ถึง 25 องศา

ขนาดมูนกรวยและความยาวของไฮดร่าเซลล์เป็นตัวแปรที่คำนึงถึงน้อยที่สุดในการออกแบบไฮดร่าเซลล์ เนื่องจากไม่มีผลสรุปแน่นอนของผลกระทบต่อประสิทธิภาพในการแยกอนุภาคของไฮดร่าเซลล์จากการเปลี่ยนความยาวและมูนกรวยของไฮดร่าเซลล์ ผลจาก

งานวิจัยได้สนับสนุนว่า มุมกรวยที่แหลมจะให้ปริมาณน้ำที่สามารถบำบัดได้ (Capacity) ถูงและยังสามารถเพิ่มประสิทธิภาพในการแยกอนุภาคของไอกดร่าไซโคลนอีกด้วย

กรณีที่ใช้มุมกรวยที่กว้าง คือ ไอกดร่าไซโคลนที่ใช้สำหรับการทำใส (Clarifier) หรือการทำความสะอาด (Washer) มีสองสาเหตุที่ต้องใช้ไอกดร่าไซโคลนที่มีมุมกรวยกว้าง ประเภทแรก คือ ไอกดร่าไซโคลนมุมกรวยกว้างมีแนวโน้มที่จะเกิดการอุดตันที่ปลายกรวยน้อยกว่า ประการที่สอง คือ ความดันลดที่ใช้กับไอกดร่าไซโคลนมุมกรวยกว้างที่อัตราการไหลเดียวกัน จะให้ขนาดตัด (x_{50}) เล็กกว่าไอกดร่าไซโคลนที่มีมุมกรวยแหลม และมีการทดลองใน實驗การใช้ไอกดร่าไซโคลนเล็กๆ โดยมีช่องทางจ่ายเข้าตามแนวสัมผัสเด่นรองวง (Tangential inlet) ปรากฏว่าใช้ในการคัดแยก (Classification) ตามขนาดที่ต้องการได้ดี

5. ขนาดและลักษณะของช่องท่อจ่ายของผสมเข้าในไอกดร่าไซโคลน

Kelsall, 1953 (อ้างถึงใน Bradley, 1965) กล่าวว่า ช่องท่อจ่ายเข้าสามารถมีรูปร่างได้หลายแบบและหลายตำแหน่ง ซึ่งมีผลต่อประสิทธิภาพในการแยกอนุภาคของไอกดร่าไซโคลนไม่มากนัก โดยช่องเปิดแบบสี่เหลี่ยมที่มีด้านยาวนานกับแกนของไอกดร่าไซโคลนจะดีกว่าช่องเปิดแบบวงกลม เมื่อมีพื้นที่เปิดสมมูล (Equivalent area) เท่ากันและความยาวต่อความกว้างควรเป็น 2:1

มีการทดลองที่ทำให้สังเกตได้ว่า เมื่อเปลี่ยนรูปร่างหน้าตัดของช่องท่อจ่ายเข้าโดยยังคงพื้นที่เอาไว้นั้น ช่องทางเข้าที่ยาวกว่าและเป็นสี่เหลี่ยมยุ่งยากในด้านการผลิต ดังนั้นโดยส่วนใหญ่ไอกดร่าไซโคลนจึงยังคงรูปร่างของช่องท่อจ่ายเข้าเป็นวงกลมเอาไว้

ชนิดของช่องท่อจ่ายเข้า ส่วนใหญ่จะพิจารณาในไอกดร่าไซโคลนสำหรับแยกก้าชมากกว่าไอกดร่าไซโคลนของของไหล ซึ่งมีผลการศึกษา กับไอกดร่าไซโคลนขนาด 3 นิ้ว พบว่าลักษณะของช่องท่อจ่ายเข้าไม่ส่งผลต่อประสิทธิภาพในการแยกอนุภาคและความดันลด

ตำแหน่งของช่องท่อจ่ายเข้าควรจะได้ระดับกับแผ่นปิดด้านบนของไอกดร่าไซโคลนซึ่งมีที่จำกัด ในบริเวณที่มีปัญหาหรือเรียกว่า Dead space เป็นบริเวณที่เกิดการไหลลัดวงจร ซึ่งเกิดขึ้นเป็นปกติอยู่เสมอ แต่เมื่อรวมมากเกิน 15 เปลอร์เซนต์ของอัตราการไหลทั้งหมด

มุมของช่องท่อจ่ายเข้าไม่มีความสำคัญกับไอกดร่าไซโคลนที่มีมุมระหว่าง 0 องศา ถึง 10 องศา จากแนวทาง แต่ส่งผลกระทบต่อการจ่ายของผสมที่มีอนุภาคขนาดใหญ่ ซึ่งส่งผลในเรื่องบริเวณที่เกิดการไหลลัดวงจรที่เกิดขึ้นเนื่องจากช่องจ่ายเข้าภายในไอกดร่าไซโคลน ดังนั้นการทำมุมของทางจ่ายเข้าก็เพื่อที่จะหลีกเลี่ยงการจ่ายของผสมเข้าไปในเส้นทางการไหลลัดวงจร แต่สำหรับไอกดร่าไซโคลนขนาดเล็กนั้น ไม่จำเป็นต้องสนใจมุมของทางจ่ายเข้าแต่อย่างใด

6. แกนอากาศ (Air core)

ลักษณะการไหลที่สำคัญอีกอย่างหนึ่งในไฮโดรไซโคลน คือ แกนอากาศ (Air core) ที่เกิดขึ้นบริเวณแกนกลางด้านในของไฮโดรไซโคลน ซึ่งมีสาเหตุจากการไหลแบบหมุนวน เมื่อความเร็วของของเหลวสูงจะทำให้มีบริเวณแกนกลางมีความดันต่ำ ปรากฏการณ์ดังกล่าวจะเกิดขึ้นอย่างเป็นปกติเมื่อมีพื้นผิวของไหลที่หมุนวนอย่างอิสระภายในทรงกระบอกและเคลื่อนที่ไปตลอดความยาวของไฮโดรไซโคลน ถ้าทางออกทั้งสองทางหรือทางเดียวที่นี้ต้องออกสู่บรรยากาศโดยตรง แกนกลางของไฮโดรไซโคลนจะดูดอากาศเข้าไป ซึ่งเป็นผลทำให้เกิดแกนอากาศด้านในแกนของไฮโดรไซโคลน นอกจานี้แกนอากาศดังกล่าวยังเป็นตัวบ่งชี้เสถียรภาพของการไหลแบบหมุนวน (Vortex) ซึ่งควรมีลักษณะเป็นเส้นตรงและเส้นผ่านศูนย์กลางคงที่ตลอดความยาวของไฮโดรไซโคลน

จากผลงานวิจัยของนักวิทยาศาสตร์ชาวรัสเซีย (อ้างถึงใน Svarovsky, 1984) ได้กล่าวถึงความสัมพันธ์ระหว่างขนาดเส้นผ่านศูนย์กลางของแกนอากาศ (D_a) และขนาดเส้นผ่านศูนย์กลางของไฮโดรไซโคลน (D_c) แสดงได้ดังสมการ

$$\frac{D_a}{D_c} = \frac{D^*}{D_c} \sqrt{\frac{\rho v_i^2}{3\Delta\rho}} \quad (2.19)$$

- เมื่อ D_a คือ ขนาดเส้นผ่านศูนย์กลางของแกนอากาศ
- D_c คือ ขนาดเส้นผ่านศูนย์กลางของไฮโดรไซโคลน
- D^* คือ ขนาดเส้นผ่านศูนย์กลางเมื่อขึ้นของไฮโดรไซโคลน
เนื่องจากเส้นผ่านศูนย์กลางทางเข้ามีค่าเท่ากับ $D - D_i$
- v_i คือ ความเร็วของการไหลเข้าในไฮโดรไซโคลน

2.2.6 สรุปผลของพารามิเตอร์ต่างๆ ที่มีผลต่อไฮโดรไซโคลน

1. ขนาดเส้นผ่านศูนย์กลางของไฮโดรไซโคลนส่งผลต่อประสิทธิภาพในการแยกอนุภาคของไฮโดรไซโคลน เนื่องจากถ้าไฮโดรไซโคลนมีเส้นผ่านศูนย์กลางขนาดเล็ก ขนาดตัด (x_{50}) ของอนุภาคจะมีขนาดเล็กตามไปด้วย นั่นหมายถึง ไฮโดรไซโคลนมีประสิทธิภาพในการแยกอนุภาคดียิ่งขึ้นในแต่ละขนาด และเมื่อขนาดตัดของอนุภาคที่มีขนาดเล็กลง ไฮโดรไซโคลนจะสามารถแยกมวลได้ปริมาณมากขึ้น

2. การลดอัตราการจ่ายเข้าและลดขนาดเส้นผ่านศูนย์กลางช่องทางออกด้านบน (Overflow) จะทำให้ขนาดตัด (x_{50}) เล็กลงแต่ความดันลด (Δp) เพิ่มขึ้น ขนาดของช่องท่อจ่ายเข้า

ที่เหมาะสมโดยที่ขนาดตัดและความดันลดน้อยที่สุด ควรมีค่า $D_i = \frac{D_C}{3.5}$ และ $D_o = \frac{D_C}{3}$

3. การเพิ่มความยาวของท่ออื่นสำหรับช่องทางออกด้านบน (Vortex finder) จะทำให้ประสิทธิภาพในการแยกอนุภาคขนาดใหญ่เพิ่มขึ้น และประสิทธิภาพในการแยกอนุภาคขนาดละเอียดจะลดลง ความยาวที่เหมาะสมขึ้นอยู่กับลักษณะการใช้งาน แต่ควรมีช่วงระหว่าง $\frac{D_C}{2.5}$ ถึง $\frac{D_C}{3}$ ความหนาของผนังด้านนอกที่ฐานของ Vortex finder ควรมากกว่าส่วนปลายเพื่อป้องกันการสึกกร่อน

4. ไฮโดรไนโคลนที่มีขนาดใหญ่ ทำให้มีอัตราการจ่ายเข้าสูง โดยไม่คำนึงถึงสัดส่วนความยาวของส่วนทรงกรวยและทรงกระบอก อีกทั้งยังไม่ส่งผลต่อขนาดตัดเมื่อความดันคงที่ แต่ มุมกรวยที่เล็กอาจทำให้เกิดปัญหาการอุดตันที่ปลายกรวยได้

5. ช่องท่อจ่ายเข้าควรมีผนังเป็นเนื้อดียวกันกับส่วนปิดด้านบนของไฮโดรไนโคลน

6. เมื่อมีของแข็งที่จะสามารถกัดกร่อนได้อยู่ภายในของผสมที่จะจ่ายเข้า ควรมีการป้องกันการกัดกร่อนที่บริเวณฐานของช่องทางออกด้านบน (Vortex finder) และส่วนปลาย ซึ่งสามารถทำได้โดยการเคลือบด้วยเทฟรอง (Teflon)

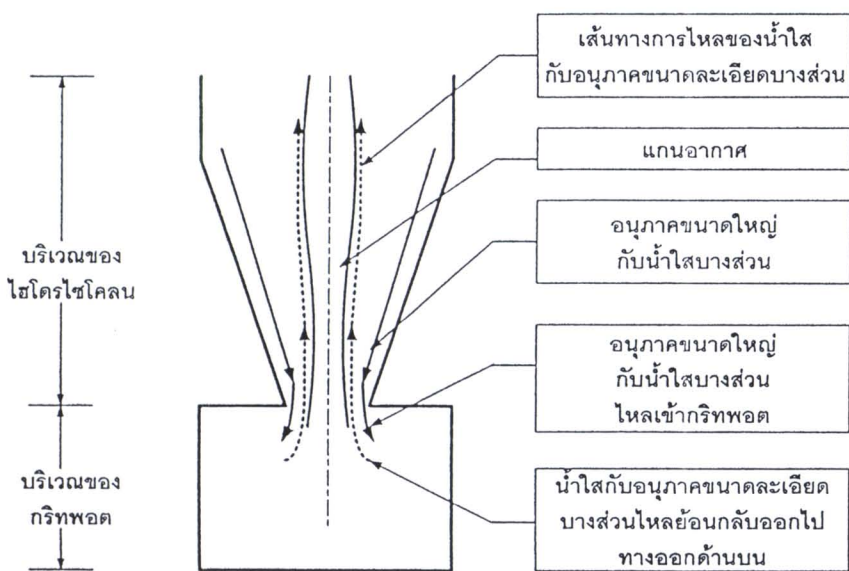
2.3 ไฮโดรไนโคลนที่ติดตั้งกริพอต (Hydrocyclone equipped with Grit pot)

กริพอตทำหน้าที่คล้ายถังตกรตะกอนขนาดเล็กโดยจะติดตั้งอยู่ที่ทางออกด้านล่าง (Underflow) ของไฮโดรไนโคลน ซึ่งอนุภาคของแข็งที่ถูกแยกโดยไฮโดรไนโคลนจะไหลออกทางด้านล่างและเข้าสู่กริพอตและจะตกรตะกอนอยู่ภายในจนกระทั่งเวลาผ่านไประยะหนึ่ง อนุภาคของแข็งจะสะสมอยู่ภายในจนถึงระดับสูงสุดที่กริพอตจะรับได้จึงปล่อยออก (Drain off) แล้วนำไปบำบัดต่อไป แต่ในกรณีถ้าอนุภาคของแข็งที่สะสมอยู่ภายในกริพอตมีความเข้มข้นมาก จะทำให้ไปขัดขวางอนุภาคใหม่ๆ ที่ไหลผ่านช่องทางออกด้านล่างมา จึงทำให้อนุภาคของแข็งในลอกไปยังทางออกด้านบน เป็นผลทำให้ประสิทธิภาพในการแยกอนุภาคของไฮโดรไนโคลนลดต่ำลง ดังนั้นเวลาที่ใช้กักเก็บตะกอนของกริพอตจึงขึ้นอยู่กับเวลาที่ต้องปล่อยตะกอนเข้มข้นของอนุภาคของแข็งต่อไป ความเข้มข้นที่จ่ายเข้า ลักษณะสมบูรณ์ในการตกรตะกอนของอนุภาคของแข็ง และตัวแปรทางกายภาพอื่นๆ

Puprasert และคณะ, 2004 ได้ทำการทดลองโดยใช้ไฮโดรไนโคลนที่ทำการติดตั้งกริพอตบำบัดน้ำฝนใน淋อง (Run off water) พบร่วมประสิทธิภาพในการแยกอนุภาคจะต่ำกว่า

ไฮโดรไซโคลนแบบธรรมด้าปะรพยายาม 5 ถึง 15 เปอร์เซ็นต์ แต่จะมีปริมาณความเข้มข้นของอนุภาคที่เหลืออยู่ทางด้านล่างเพิ่มมากขึ้น

การไหลภายในกริพอตสามารถอธิบายได้โดย Hass และ Bradley, 1957 (อ้างถึงใน Puprasert และคณะ, 2004) บริเวณส่วนบนของกริพอตมีการไหลเข้ากริพอตจะเท่ากับการไหลย้อนกลับจากกริพอตเข้าสู่ไฮโดรไซโคลน การไหลย้อนกลับจะในลั่นผ่านช่องแคบรอบแกนอากาศ ทำให้ออนุภาคขนาดเล็กไหลย้อนกลับไปในไฮโดรไซโคลน และอนุภาคที่เหลืออยู่ซึ่งมีขนาดใหญ่กว่าจะตกตะกอนอยู่ภายในกริพอตดังแสดงในรูปที่ 2.10

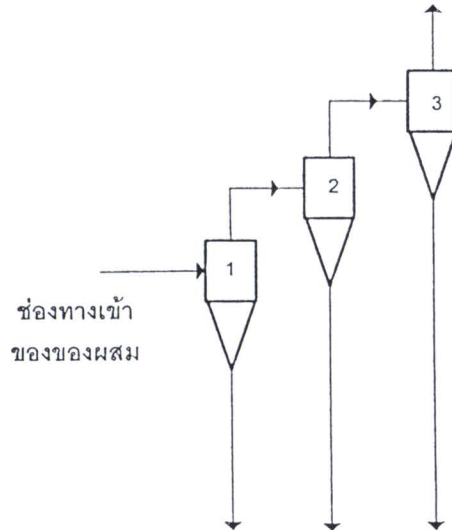


รูปที่ 2.10 เส้นทางการไหลของอนุภาคและน้ำในไฮโดรไซโคลนที่ติดตั้งกริพอต

Hass และคณะ, 1957 (อ้างถึงใน Puprasert และคณะ, 2004) ยังกล่าวอีกว่า อัตราส่วนความเข้มข้นสามารถตรวจสอบได้ในรูปของอัตราส่วนระหว่างความเข้มข้นภายในกริพอต และความเข้มข้นของของไหลที่จ่ายเข้า มีค่าสูงถึง 4500 เท่า สำหรับไฮโดรไซโคลนขนาดเล็กผ่านศูนย์กลาง 0.635 เมตร และมีขนาดของอนุภาคที่สะสมในกริพอตเฉลี่ย 1 ไมโครเมตร

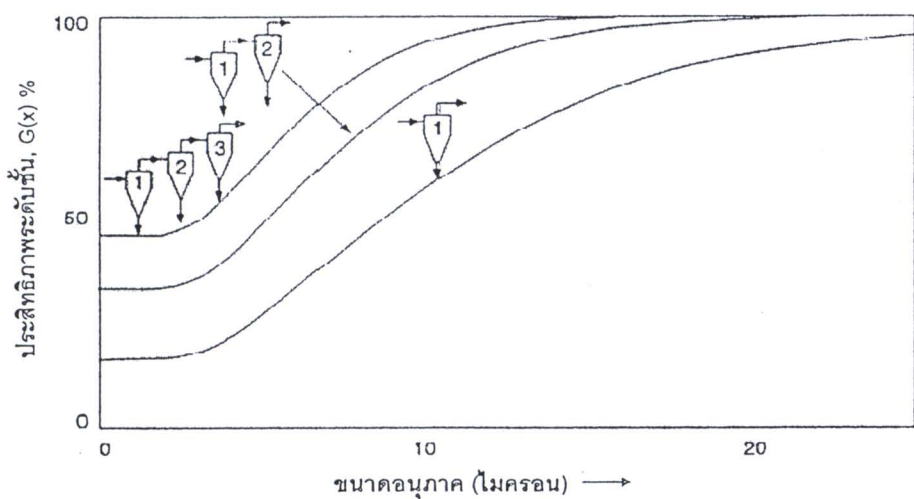
2.4 ไฮโดรไซโคลนที่มีการจัดเรียงแบบอนุกรม (Svarovsky, 2000)

ไฮโดรไซโคลนที่ทำการจัดเรียงแบบอนุกรมนั้น สามารถทำการจัดเรียงอนุกรมได้ทั้งที่ซองทางออกด้านบน (overflow) ที่ซองทางออกด้านล่าง (underflow) โดยลักษณะการจัดเรียงนั้นจะขึ้นอยู่กับการนำไปใช้งาน ซึ่งในงานวิจัยนี้มีเป้าหมายในการแยกของแข็งออกจากน้ำเพื่อให้ได้น้ำใส เพื่อนำไปผลิตน้ำประปา ผู้ทำการวิจัยจึงได้เลือกการจัดเรียงไฮโดรไซโคลนแบบอนุกรมที่ซองทางออกด้านบน ดังรูปที่ 2.11 มาใช้ทำการทดลองในงานวิจัยนี้



รูปที่ 2.11 การจัดเรียงไอล์ดรอไทร์โคลน 3 ตัวแบบอนุกรมที่ช่องทางออกด้านบนแบบทั่วไป (Svarovsky, 2000)

การจัดเรียงไอล์ดรอไทร์โคลนแบบอนุกรมที่ช่องทางออกด้านบนนั้นทำให้ขนาดตัดเล็กลงได้ซึ่งเมื่อเพิ่มจำนวนไอล์ดรอไทร์โคลนในการจัดเรียงแบบอนุกรมก็จะสามารถแยกอนุภาคเพิ่มขึ้นได้อีกดังรูปที่ 2.12



2.5 ประสิทธิภาพในการแยกอนุภาคของไฮโดรไซโคลน (Separation Efficiency)

ดังที่ได้กล่าวมาแล้วว่า การแยกอนุภาคของแข็งออกจากของเหลวในไฮโดรไซโคลนไม่สามารถแยกออกจากกันได้อย่างสมบูรณ์ เนื่องจากอาจมีอนุภาคของแข็งที่มีขนาดเล็กหรือมีความหนาแน่นต่ำหลุดออกไปกับน้ำใส่ที่ทางออกด้านบนและมีของเหลวหลุดออกไปพร้อมกับอนุภาคของแข็งที่มีขนาดใหญ่หรือมีความหนาแน่นสูงที่ทางออกด้านล่างเสมอ การศึกษาประสิทธิภาพของไฮโดรไซโคลนสามารถทำในสองแนวทาง โดยแนวทางแรกจะทำในกรณีของการแยกมวลของของแข็ง ซึ่งได้แก่ ประสิทธิภาพรวม (Total efficiency) แนวทางที่สองจะกล่าวในกรณีของขนาดของอนุภาคที่ถูกแยกออกจากไฮโดรไซโคลน

2.5.1 ประสิทธิภาพรวม (Total efficiency)

ประสิทธิภาพรวม คือ ประสิทธิภาพในการแยกอนุภาคของแข็งออกจากของเหลว โดยพิจารณาจากสัดส่วนระหว่างปริมาณของอนุภาคของแข็งที่ถูกแยกออกจากสู่ทางออกด้านล่าง (Underflow) กับปริมาณของอนุภาคของแข็งทั้งหมดที่จ่ายเข้าสู่ไฮโดรไซโคลน (Feed in) สามารถแสดงได้ดังสมการ

$$E_T = \frac{M_u}{M} \quad (2.20)$$

โดยที่ $M_u = Q_u \cdot C_u$ (2.21)

$$M = Q_f \cdot C_f \quad (2.22)$$

เมื่อ	E_T	คือ ประสิทธิภาพรวม
	M_u	คือ มวลของของแข็งที่ถูกแยกออกจากมายังทางออกด้านล่าง (มวลต่อเวลา)
	M	คือ มวลของของแข็งที่จ่ายเข้าสู่ไฮโดรไซโคลน (มวลต่อเวลา)
	Q_u	คือ อัตราการไหลที่ออกทางด้านล่างของไฮโดรไซโคลน (ปริมาตรต่อเวลา)
	Q_f	คือ อัตราการไหลเข้าสู่ไฮโดรไซโคลน (ปริมาตรต่อเวลา)
	C_u	ความเข้มข้นของผสมที่ออกทางด้านล่างของไฮโดรไซโคลน (มวลต่อปริมาตร)
	C_f	ความเข้มข้นของผสมที่เข้าสู่ไฮโดรไซโคลน (มวลต่อปริมาตร)

ในกรณีที่ความเข้มข้นของของผสมที่ออกทางด้านล่างของไฮโดรไซโคลน (Underflow) เท่ากับความเข้มข้นของของผสมที่จ่ายเข้าสู่ไฮโดรไซโคลน (Feed in) แสดงว่าไม่เกิด

การแยกอนุภาคภายในไอโอดร่าไซโคลน เพียงแต่เกิดการแบ่งการไหล (Flow split) ออกเป็นสองทาง เท่านั้น ดังนั้น ประสิทธิภาพรวมของไอโอดร่าไซโคลนควรมีค่าเท่ากับศูนย์ นั่นคือ

$$C_u = C_f \quad (2.23)$$

จากสมการที่ (2.20)

$$E_T = \frac{M_u}{M} = \frac{Q_u \cdot C_u}{Q_f \cdot C_f} \quad (2.24)$$

แทน $C_u = C_f$ ในสมการที่ (2.24) จะได้ว่า

$$E_T = \frac{Q_u}{Q_f} \quad (2.25)$$

เมื่อทำการแทนค่าอัตราการไหลออกทางด้านล่าง (Q_u) หารด้วยอัตราการไหลเข้าสู่ ไอโอดร่าไซโคลน (Q_f) พบว่ามีค่ามากกว่าศูนย์ ด้วยเหตุนี้ ประสิทธิภาพของไอโอดร่าไซโคลน (E_T) จึงไม่สามารถแสดงประสิทธิภาพของไอโอดร่าไซโคลนอย่างแท้จริงได้ ดังนั้นจึงมีการนิยามประสิทธิภาพ ของไอโอดร่าไซโคลนโดยคำนึงถึงผลของการแบ่งอัตราการไหล (Flow split) ด้วย ซึ่งเรียกว่า ประสิทธิภาพลด (Reduced total efficiency)

2.5.2 ประสิทธิภาพลด (Reduced total efficiency)

ประสิทธิภาพลด คือ ประสิทธิภาพที่ใช้ในการแยกอนุภาคของไอโอดร่าไซโคลนโดย คำนึงถึงผลของการแบ่งอัตราการไหล (Flow split) ด้วย ทั้งนี้เนื่องจากจุดประสงค์ของการแยก อนุภาคในไอโอดร่าไซโคลนนั้นต้องการให้มีปริมาณของแข็งทั้งหมดไหลออกไปยังทางออกด้านล่าง (Underflow) และมีเพียงน้ำไส้ไหลออกไปยังทางออกด้านบน (Overflow) แต่ในทางปฏิบัตินั้น เป็นไปไม่ได้ เพราะจะมีส่วนของของเหลวไหลออกมายังช่องทางออกด้านล่างด้วยเสมอ ดังนั้นจึง ต้องนำสัดส่วนของของเหลวมาคำนวนประสิทธิภาพด้วย ซึ่งทำให้ประสิทธิภาพรวม (Total efficiency) น้อยลงและสอดคล้องกับความเป็นจริงมากยิ่งขึ้น ด้วยเหตุนี้จึงนิยมใช้เป็น ประสิทธิภาพลด (Reduced total efficiency) ในการบ่งบอกประสิทธิภาพในการแยกอนุภาคของ ไอโอดร่าไซโคลนมากกว่าประสิทธิภาพรวม (Total efficiency)

ประสิทธิภาพลด (Reduced total efficiency) สามารถแสดงได้จากสมการ

$$E'_T = \frac{E_T - R_f}{1 - R_f} \quad (2.26)$$

- เมื่อ E'_T คือ ประสิทธิภาพลดของไฮโดรไซโคลน
 E_T คือ ประสิทธิภาพรวมของไฮโดรไซโคลน
 R_f คือ อัตราส่วนการแบ่งอัตราการไหล (Flow split) ระหว่างอัตราการไหลที่ไหลออกทางด้านล่างและอัตราการไหลเข้าสู่ไฮโดรไซโคลน
 อัตราส่วนการแบ่งอัตราการไหล (R_f) สามารถแสดงได้ดังสมการ

$$R_f = \frac{Q_u}{Q_f} \quad (2.27)$$

ในกรณีที่ $C_u = C_f$ ตั้งที่กล่าวไปแล้วในสมการที่ (2.23) ซึ่งควรจะทำให้ประสิทธิภาพของไฮโดรไซโคลนมีค่าเท่ากับศูนย์ นั่นคือ $E_T = \frac{Q_u}{Q_f}$
 แทน $E_T = \frac{Q_u}{Q_f}$ ในสมการที่ (2.26) จะได้ว่า

$$E'_T = \frac{E_T - E_T}{1 - E_T} = 0 \quad (2.28)$$

ดังนั้นในการคำนวณประสิทธิภาพในการแยกอนุภาคของไฮโดรไซโคลน ควรใช้การคำนวณหาประสิทธิภาพลด (Reduced total efficiency) แทนการใช้ประสิทธิภาพรวม (Total efficiency) เพื่อการคำนวณที่ถูกต้องและสะดวกต่อความเป็นจริงมากกว่า

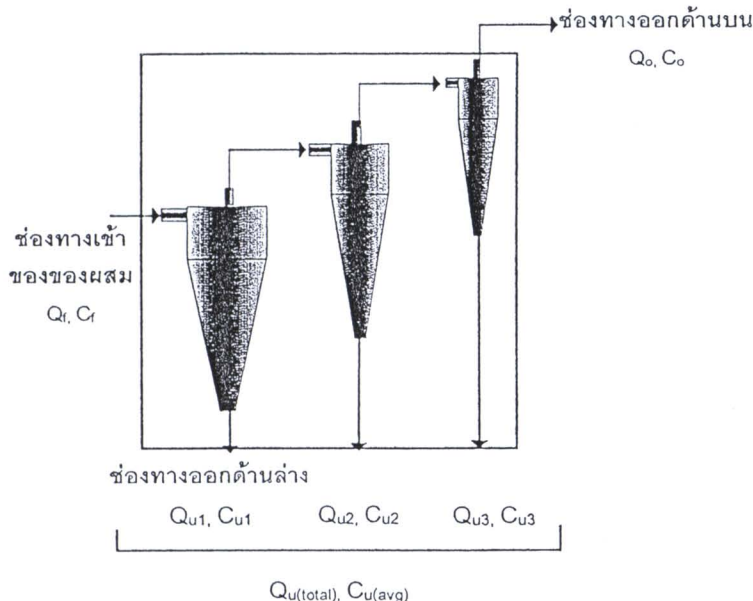
2.5.3 การคำนวณประสิทธิภาพในการแยกอนุภาคของไฮโดรไซโคลน

2.5.3.1 ประสิทธิภาพลดของไฮโดรไซโคลนแบบอนุกรมที่ไม่ได้ติดตั้งกริพอต

ในการหาประสิทธิภาพในการแยกอนุภาคของแข็งแขวนลอยของไฮโดรไซโคลนแบบอนุกรมที่ไม่ได้ติดตั้งกริพอต สามารถคำนวณได้จากสมดุลมวล (Mass balance) โดยในการคำนวณจะมองไฮโดรไซโคลนแบบอนุกรมเป็นส่วนๆ ของมีไฮโดรไซโคลนตัวเดียว กล่าวคือ มีทางเข้า 1 ช่องทาง ทางออกด้านล่างรวม 1 ช่องทาง และทางออกด้านบน 1 ช่องทาง

จากสมดุลมวลของของไหลในไฮโดรไซโคลนแบบอนุกรมที่ไม่ได้ติดตั้งกริพอตดังรูปที่ 2.13 จะได้ว่า

$$Q_f Q_f = Q_o C_o + Q_{u(total)} C_{u(avg)} \quad (2.29)$$



รูปที่ 2.13 ทิศทางการไหลเข้าออกของของในไอลอโดรไรซ์โคลนแบบอนุกรมที่ไม่ได้ติดตั้งกริทพอด

$$\text{จากสมการที่ (2.26) ประสิทธิภาพลด } E'_T = \frac{E_T - R_f}{1 - R_f}$$

$$\text{เมื่อ } E_T = \frac{M_u}{M} = \frac{\mathcal{Q}_{u(\text{total})} C_{u(\text{avg})}}{\mathcal{Q}_f C_f} \quad \text{และ} \quad R_f = \frac{\mathcal{Q}_{u(\text{total})}}{\mathcal{Q}_f}$$

แทนค่าต่างๆ ลงในสมการที่ (2.26) จะได้ว่า

$$E'_T = \frac{\mathcal{Q}_{u(\text{total})} (C_{u(\text{avg})} - C_f)}{C_f (\mathcal{Q}_f - \mathcal{Q}_{u(\text{total})})} \quad (2.30)$$

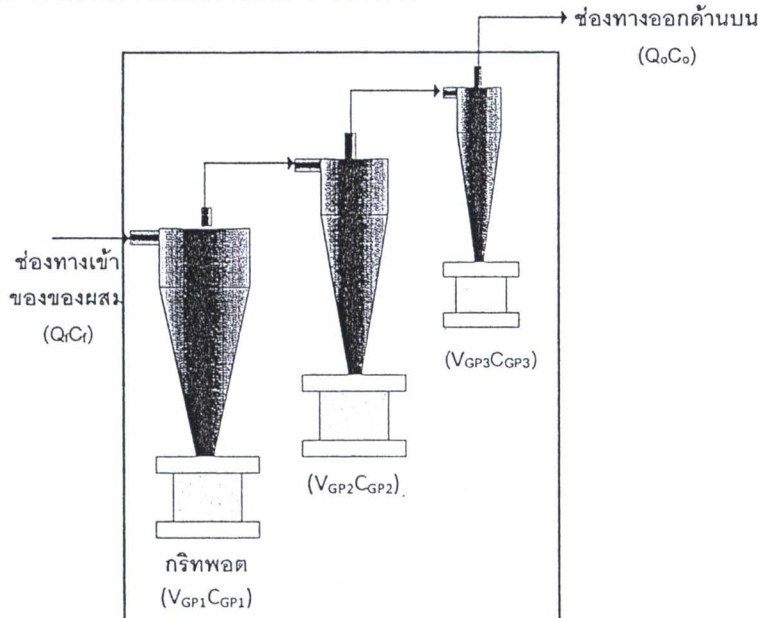
$$\text{เมื่อ } \mathcal{Q}_f - \mathcal{Q}_{u(\text{total})} = \mathcal{Q}_o$$

ดังนั้น ประสิทธิภาพในการแยกของแข็ง (Solid separation efficiency, %SE) สำหรับไอลอโดรไรซ์โคลนแบบอนุกรมที่ไม่ได้ติดตั้งกริทพอด E'_T) แสดงได้ดังสมการ

$$E'_T = \frac{\mathcal{Q}_{u(\text{total})} (C_{u(\text{avg})} - C_f)}{\mathcal{Q}_o C_f} \times 100 \quad (2.31)$$

2.5.3.2 ประสิทธิภาพของไอล์ดรอไชโคลนแบบอนุกรมที่ติดตั้งกริพอต

ในการหาประสิทธิภาพในการแยกอนุภาคของแข็งในไอล์ดรอไชโคลนที่ติดตั้งกริพอต สามารถหาได้จากสมดุลมวล (Mass balance) เช่นกัน โดยในการคำนวณจะมีของไอล์ดรอไชโคลนแบบอนุกรมเป็น stemming มีไอล์ดรอไชโคลนตัวเดียว กล่าวคือ มีทางเข้า 1 ช่องทาง ทางออกด้านล่างรวม 1 ช่องทาง และทางออกด้านบน 1 ช่องทาง



รูปที่ 2.14 ทิศทางการไหลเข้าออกของของในไอล์ดรอไชโคลนแบบอนุกรมที่ติดตั้งกริพอต

จากสมดุลมวลของของในไอล์ดรอไชโคลนที่ติดตั้งกริพอต ดังรูปที่ 2.14 จะได้ว่า

$$Q_f C_f T = Q_o C_o T + (V_{GP1} C_{GP1} + V_{GP2} C_{GP2} + V_{GP3} C_{GP3}) \quad (2.32)$$

$$(V_{GP1} C_{GP1} + V_{GP2} C_{GP2} + V_{GP3} C_{GP3}) = Q_f C_f T - Q_o C_o T \quad (2.33)$$

เมื่อ T คือ เวลาในการเดินระบบอย่างต่อเนื่องก่อนเก็บตัวอย่างจากกริพอต

V_{GP} คือ ปริมาตรของกริพอต

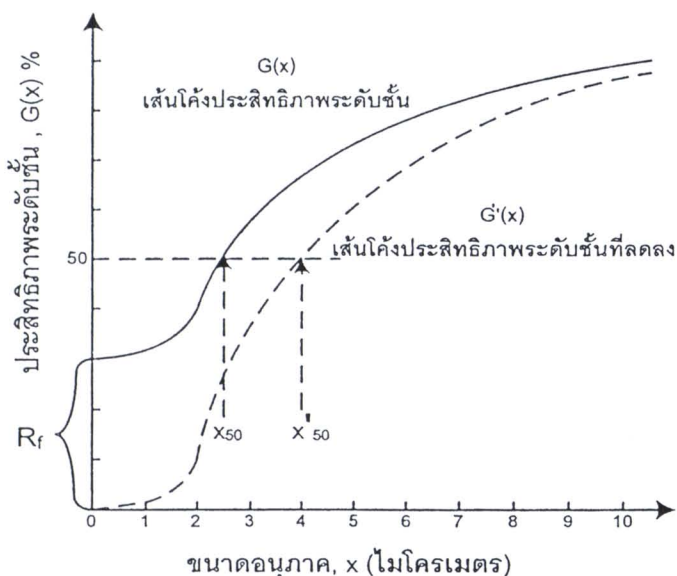
C_{GP} คือ ความเข้มข้นของอนุภาคของแข็งในกริพอต

ดังนั้นประสิทธิภาพในการแยกอนุภาคของแข็ง (Solid separation efficiency, %SE) สำหรับไอล์ดรอไชโคลนที่ติดตั้งกริพอต หรือประสิทธิภาพรวม (E_T) สามารถแสดงได้ดังสมการ

$$E_T = \frac{Q_f C_f T - Q_o C_o T}{Q_f C_f T} \times 100 \quad (2.34)$$

2.5.4 ประสิทธิภาพระดับชั้น (Grade efficiency)

ประสิทธิภาพระดับชั้น (Grade efficiency) มีความหมายคล้ายคลึงกับประสิทธิภาพรวม (Total efficiency) เพียงแต่ประสิทธิภาพรวมหรือประสิทธิภาพผลิตจะหมายถึงประสิทธิภาพใน การแยกอนุภาคเพียงขนาดเดียว ส่วนประสิทธิภาพระดับชั้นเป็นการนำค่าประสิทธิภาพของทุกๆ ขนาดมาทำเป็นกราฟ ซึ่งเรียกว่า เส้นโค้งประสิทธิภาพระดับชั้น (Grade efficiency curve) โดยทั่วไปจะมีลักษณะเป็นรูปตัวเอส (S) ดังรูปที่ 2.15



รูปที่ 2.15 เส้นโค้งประสิทธิภาพระดับชั้นและเส้นโค้งประสิทธิภาพระดับชั้นที่ลดลง (Svarovsky, 1984)

การสร้างเส้นโค้งประสิทธิภาพระดับชั้น (Grade efficiency curve) สามารถสร้างได้ จากการทดลอง 2 วิธี ดังนี้ วิธีแรกคือ การจ่ายของเม็ดที่มีชนิดและขนาดอนุภาคขนาดเดียว (Monosized solids) เข้าสู่ไซโตรไซโคลนหลายๆ ครั้ง หรือ วิธีที่สองซึ่งประยุกต์และเร็วกว่า การทดลองวิธีแรก คือการจ่ายของเม็ดที่มีการกระจายของอนุภาคหลายขนาดตามต้องการ โดยทั่วไป วิธีทดลองต้องมีการวัดเพื่อหาประสิทธิภาพรวมของอนุภาคแต่ละขนาด ในกรณีที่สองจะต้องมีการนำการกระจายของอนุภาคของการหลอกอสูรด้านบนและทางออกด้านล่างไปทำการวิเคราะห์ด้วย ตั้งน้ำหนักการทำสมดุลมวล (Mass balance) ของการไหลทั้ง 3 ทิศทาง สามารถนำไปคำนวณสมการพื้นฐานของประสิทธิภาพระดับชั้น (Grade efficiency, $G(x)$) ได้ดังนี้

$$G(x) = E'_T \cdot \frac{dF_u(x)}{dF_f(x)} \quad (2.35)$$

$$G(x) = 1 - (1 - E_T) \cdot \frac{dF_o(x)}{dF_f(x)} \quad (2.36)$$

$$\frac{1}{G(x)} = 1 + \left(\frac{1}{E_T} - 1 \right) \cdot \frac{dF_o(x)}{dF_u(x)} \quad (2.37)$$

เมื่อ $G(x)$ คือ เส้นโค้งประสิทธิภาพระดับชั้น (Grade efficiency curve)

E'_T คือ ประสิทธิภาพลด (Reduced total efficiency)

$F_f(x)$ คือ เปอร์เซ็นต์การสะสมอนุภาคของของที่จ่ายเข้าสู่ไฮดร่าไทร์โคลน (%)

$F_u(x)$ คือ เปอร์เซ็นต์การสะสมอนุภาคของของที่ทางออกด้านล่าง (%)

$F_o(x)$ คือ เปอร์เซ็นต์การสะสมอนุภาคของของที่ทางออกด้านบน (%)

จากสมการข้างต้นทั้ง 3 สมการ สามารถคำนวณหรือแสดงผลของประสิทธิภาพระดับชั้น (ในแต่ละขนาดอนุภาค) ออกมาได้ในรูปของกราฟ ซึ่งการแสดงผลในรูปแบบของกราฟจะมีความแม่นยำมากกว่าการคำนวณ

ในการหาค่าประสิทธิภาพระดับชั้น ของแก็งที่จ่ายเข้าสู่ไฮดร่าไทร์โคลนจะต้องเป็นชนิดเดียวกันเพื่อหลีกเลี่ยงผลกระทบอื่นๆ เช่น ความหนาแน่น และควรเลือกใช้วัสดุที่ไม่เกะกะตัวกันเป็นกลุ่มก้อน (Non-flocculating) และมีการกระจายตัวออกจากกันได้ง่าย (Easily dispersed)

2.5.5 ประสิทธิภาพระดับชั้นที่ลดลง (Reduced grade efficiency)

ประสิทธิภาพระดับชั้นที่ลดลง (Reduced grade efficiency) จะคำนึงถึงผลที่ได้จากการแบ่งอัตราการไหล (Flow split). เช่นเดียวกับที่กล่าวไปแล้วในหัวข้อที่ 2.4.2 นั้นคือ มีการนำอัตราส่วนการแบ่งอัตราการไหล ($R_f = \frac{Q_u}{Q_f}$) มาคำนวณด้วย ดังรูปที่ 2.15

ประสิทธิภาพระดับชั้นที่ลดลง (Reduced grade efficiency) ในแต่ละขนาดอนุภาค หาได้จาก

$$G'(x) = \frac{G(x) - R_f}{1 - R_f} \quad (2.38)$$

เมื่อ $G'(x)$ คือ เส้นโค้งประสิทธิภาพระดับชั้นที่ลดลง

$G(x)$ คือ เส้นโค้งประสิทธิภาพระดับชั้น

R_f คือ อัตราส่วนการแบ่งอัตราการไหล

2.5.6 ขนาดตัด (cut size)

ขนาดตัดของไฮโดรไซโคลน คือ ขนาดของอนุภาคที่ไฮโดรไซโคลนสามารถแยกได้ 50 เปอร์เซ็นต์โดยน้ำหนัก ขนาดตัดสามารถหาได้จากขนาดของอนุภาคที่อยู่บนตำแหน่งของเส้นโค้งประสิทธิภาพระดับชั้น (Grade efficiency curve) บนแกน x เรียกว่า x_{50} ดังนั้นขนาดตัดจึงเป็นตัววัดประสิทธิภาพในเรื่องของขนาดของอนุภาคที่ไฮโดรไซโคลนสามารถแยกได้ มีบางไฮโดรไซโคลนที่ใช้ขนาดถึง 95 เปอร์เซ็นต์ เป็นขนาดตัดเมื่อต้องการให้ออนุภาคที่แยกได้มีขนาดเล็กๆ แต่โดยทั่วไปที่ยอมรับกันจะอยู่ที่ขนาด 50 เปอร์เซ็นต์ ที่จะถูกแยกโดยไฮโดรไซโคลน ซึ่งอนุภาคที่ถูกแยกออกจะมีขนาดค่อนข้างใหญ่และ/หรือหหยาบ ในขณะที่อนุภาคขนาดเล็กและ/หรือละเอียด ที่มีขนาดเล็กกว่า Equiprobable size x_{50} จะหลอกอไปยังทางออกด้านบน

จากรูปที่ 2.15 ตำแหน่ง x_{50} (ขนาดอนุภาคที่ให้ประสิทธิภาพ 50 เปอร์เซ็นต์) เป็นตำแหน่งที่ได้จากการเส้นโค้งประสิทธิภาพระดับชั้น (Grade efficiency curve) และตำแหน่ง x'_{50} (ขนาดอนุภาคที่ให้ประสิทธิภาพ 50 เปอร์เซ็นต์) เป็นตำแหน่งที่ได้จากการเส้นโค้งประสิทธิภาพระดับชั้นที่ลดลง (Reduced grade efficiency)

ประสิทธิภาพในการแยกอนุภาคในเรื่องของขนาดของอนุภาคของเข็ง (D_{50}) ที่ถูกแยกออกจากไฮโดรไซโคลนที่ทางออกด้านบน (Overflow) และทางออกด้านล่าง (Underflow) เพื่อเปรียบเทียบกับขนาดของอนุภาคที่ไฮโดรไซโคลนสามารถแยกได้กับอนุภาคที่จ่ายเข้า (Feed in) ซึ่งสามารถแสดงได้ด้วย %GE (Granulometric separation efficiency) ในส่วนของการหลอกทางด้านบน สามารถแสดงได้ดังสมการ (Puprasert, 2004)

$$\% \text{GE} = \frac{D_{50} \text{Feed} - D_{50} \text{Overflow}}{D_{50} \text{Feed}} \times 100 \quad (2.39)$$

และในส่วนของการหลอกทางด้านล่าง สามารถแสดงได้ดังสมการ

$$\% \text{GE} = \frac{D_{50} \text{Underflow} - D_{50} \text{Feed}}{D_{50} \text{Feed}} \times 100 \quad (2.40)$$

เมื่อ D_{50} คือ ขนาดของอนุภาคที่อยู่ในส่วนการหลอก ปริมาณ 50 เปอร์เซ็นต์โดยน้ำหนัก



2.6 งานวิจัยที่เกี่ยวข้อง

1. วิธีการผลิตน้ำประปา (การประปาส่วนภูมิภาค, <http://www.pwa.co.th>)

ขั้นตอนในการผลิตน้ำประปาโดยทั่วไปจะประกอบเป็นขั้นตอนต่อไปนี้

1. การสูบน้ำจากแหล่งน้ำดิบ การผลิตน้ำประปาเริ่มจากการสูบน้ำดิบจากแหล่งน้ำธรรมชาติ เพื่อลำเลียงเข้าสู่ระบบผลิต ซึ่งน้ำดิบที่สามารถนำมาผลิตน้ำประปาได้นั้นต้องผ่านการตรวจสอบ วิเคราะห์ และควบคุมคุณภาพของน้ำดิบ

2. ถังกวัน ใช้ในการปรับปรุงคุณภาพของน้ำดิบ โดยจะผสมด้วยสารเคมี เช่น สารต้มและปูนขาว ซึ่งสารละลายสารส้มจะช่วยให้มีการตอกตะกอนได้ดียิ่งขึ้น และสารละลายปูนขาวจะช่วยยับยั้งการเจริญเติบโตของตะไคร่น้ำหรือสาหร่ายในน้ำ หรือบางครั้งจะมีการเติมคลอรีน เพื่อทำการฆ่าเชื้อโรคที่อาจปะปนมากับน้ำในขั้นต้นนี้ก่อน

3. ถังตอกตะกอน ใช้ในการตอกตะกอน ในขั้นตอนนี้จะปล่อยน้ำที่ผสมสารส้มและปูนขาวแล้ว ทำให้เกิดการหมุนวนเวียนเพื่อให้น้ำกับสารเคมีรวมตัวกันจะช่วยให้มีการจับตัวของตะกอนได้ดีขึ้น และจะนำน้ำเหล่านั้นเข้าสู่ถังตอกตะกอนขนาดใหญ่ เพื่อทำให้เกิดน้ำนิ่ง ตะกอนที่มีขนาดใหญ่หนักมากจะตกลงสู่ก้นถัง และถูกดูดทิ้ง น้ำใส่เด้านบนจะไหลตามทางรับน้ำเข้าสู่ขั้นตอนต่อไป

4. ถังกรอง สำหรับรองเพื่อกำจัดตะกอน หรือลิ่งปนเปื้อนที่มีขนาดเล็กมากอีกครั้ง และให้มีความใสสะอาดมากขึ้น โดยในการกรองจะใช้ทรายหยาบและทรายละเอียด ซึ่งในขั้นตอนนี้น้ำที่ผ่านการกรองมีความใสมากแต่จะมีความชุ่นหลงเหลืออยู่ประมาณ 0.2 ถึง 2.0 หน่วยความชุ่น และทรายกรองจะมีการล้างทำความสะอาดอย่างสม่ำเสมอเพื่อให้การกรองมีประสิทธิภาพ

5. การฆ่าเชื้อโรค น้ำที่ผ่านการกรองมาแล้วจะมีความใส แต่อาจจะมีเชื้อโรคเจือปนมากับน้ำ จะนั้นจึงต้องทำการฆ่าเชื้อโรคโดยใช้คลอรีน โดยใส่คลอรีนในอัตราส่วนที่พอเหมาะสม เพื่อม่าเชื้อโรคแต่ไม่ก่อให้เกิดอันตรายต่อร่างกาย แล้วนำไปเก็บในถังน้ำใส เพื่อรักษาอย่างดี

6. การควบคุมคุณภาพน้ำประปา ขั้นตอนนี้เป็นขั้นตอนที่สำคัญ เป็นขั้นตอนที่ต้องวิเคราะห์ตรวจสอบอีกครั้ง และการตรวจสอบนี้จะดำเนินการอย่างสม่ำเสมอ เพื่อให้ได้น้ำประปาน้ำที่สะอาด ปลอดภัย สำหรับอุปโภคบริโภค

7. การสูบจ่ายน้ำประปา น้ำประปาน้ำที่ผลิตมาแล้วนั้น จะต้องให้บริการถึงบ้านเรือนของผู้ใช้น้ำโดยส่งผ่านไปตามเส้นท่อ ดังนั้นการสูบจ่ายน้ำจะมีความจำเป็น ด้วยการส่งจากหอสังสร้างที่สามารถบริการได้ในพื้นที่ใกล้เคียง และในพื้นที่ที่ไกลออกไปหรือมีความสูงมากจำเป็นต้องใช้เครื่องอัดแรงดันน้ำ เพื่อให้น้ำประปาน้ำสามารถบริการได้อย่างทั่วถึง

2. ลักษณะน้ำดิน (การประปานครหลวง, www.mwa.co.th)

น้ำดินที่นำมาใช้ในงานวิจัยนี้ เป็นน้ำดินจากแม่น้ำเจ้าพระยา ซึ่งแม่น้ำเจ้าพระยาเกิดจากน้ำจากแม่น้ำปิงและแม่น้ำน่านไหลมาบรรจบกัน ที่บริเวณตำบลปากน้ำโพและตำบลแควใหญ่ อำเภอเมือง จังหวัดนครสวรรค์ โดยมีเส้นทางที่ไหลผ่าน ได้แก่ พื้นที่จังหวัดอุทัยธานี ชัยนาท สิงห์บุรี อ่างทอง พระนครศรีอยุธยา ปทุมธานี นนทบุรี กรุงเทพมหานคร และไหลลงสู่ปากอ่าวไทย ที่อำเภอเมือง จังหวัดสมุทรปราการ มีความยาวประมาณ 372 กิโลเมตร น้ำจากแม่น้ำเจ้าพระยา จะไหลเข้าสู่สถานีสูบน้ำดินสำราญเป็นจุดเริ่มต้นของการรับน้ำดินจากแม่น้ำเจ้าพระยามายังคลองประปาตะวันออก ซึ่งมีลักษณะเป็นคลองดิน เส้นทางของคลองประปาจะผ่านชุมชนและสิ่งก่อสร้างมากมาย เพื่อส่งน้ำต่อไปยังโรงงานผลิตน้ำ 3 แห่ง โดยให้บริการแก่พื้นที่ทางฝั่งตะวันออกของแม่น้ำเจ้าพระยาเป็นหลัก ได้แก่ โรงงานผลิตน้ำบางเขน โรงงานผลิตน้ำสามเสน และโรงงานผลิตน้ำชนบุรี

สถานีสูบน้ำดินสำราญเป็นจุดเริ่มต้นของการรับน้ำดินจากแม่น้ำเจ้าพระยาเข้าสู่คลองประปาตะวันออก ที่ตำบลสำราญ จังหวัดปทุมธานี ห่างจากกรุงเทพ 41 กิโลเมตร ไกลจากปากอ่าวไทย 90 กิโลเมตร มีปริมาณการสูบน้ำดินประมาณวันละ 3.8 ล้านลูกบาศก์เมตร และจากการสอบถามข้อมูลลักษณะน้ำดินตลอดช่วงปี 2552 พบว่า มีค่าความชื้นเฉลี่ย 47 เอ็นทีบี โดยจากข้อมูลช่วงที่มีความชื้นโดยเฉลี่ยสูงที่สุดอยู่ในช่วงเดือนกันยายน – ตุลาคม มีค่าประมาณ 88 – 107 เอ็นทีบี

3. การศึกษาการแยกอนุภาคของแข็ง – ของเหลว ออกจากกันด้วยไฮโดรไซโคลน

Pasquier และคณะ (2000) ศึกษาการใช้ไฮโดรไซโคลนขนาดเล็กซึ่งมีขนาดเส้นผ่านศูนย์กลาง 10 มิลลิเมตร ใน การรีดน้ำ (Dewatering) ที่มีอนุภาคขนาดเล็ก (Sub-micron)

การทดลองทำโดยใช้ไฮโดรไซโคลนเซรามิกขนาดเส้นผ่านศูนย์กลาง 10 มิลลิเมตร มีขนาดเส้นผ่านศูนย์กลางของ Vortex finder 2.0 และ 3.2 มิลลิเมตร มีขนาดเส้นผ่านศูนย์กลางที่ซ่องทางออกด้านล่าง (Spigot) 1.0 และ 2.0 มิลลิเมตร ใช้ผงซิลิกา (Silica flour) เป็นของผสม มีขนาดอนุภาคเฉลี่ย 8.5 ไมโครเมตร ความเข้มข้นเฉลี่ยที่จ่ายเข้าประมาณ 35 กรัมต่อลิตร ซึ่งมีค่าน้อยเพียงพอที่จะไม่มีผลกระทบต่อความหนืดหรือปริมาตรย้อนกลับ (Volumetric recovery) อย่างมีนัยสำคัญ ทำการเก็บน้ำด้วยถังที่ทางเข้า ที่ซ่องทางออกด้านบน และที่ซ่องทางออกด้านล่าง จากนั้นนำไปทำให้แห้งเพื่อหาค่าความเข้มข้นของของแข็งต่อไป

จากการทดลองพบว่า การเพิ่มเส้นผ่านศูนย์กลางของ Vortex finder จาก 2 มิลลิเมตร เป็น 3.2 มิลลิเมตร ทำให้สัดส่วนความเข้มข้นเพิ่มขึ้นจาก 5 เป็น 12.2 ในขณะที่ค่าของเร็งและปริมาตรรับอนุกลับมีค่าลดลงจาก 80.1 เป็น 64.8 เปอร์เซ็นต์ และจาก 15.9 เป็น 5.4 เปอร์เซ็นต์ ตามลำดับ และเมื่อเพิ่มขนาดเส้นผ่านศูนย์กลางที่ช่องทางออกด้านล่าง พบว่า ของเร็งและปริมาตรรับอนุกลับมีค่าเพิ่มขึ้น แต่สัดส่วนความเข้มข้นมีค่าลดลง

จากการศึกษาถึงผลกระทบของความดันพบว่า เมื่อลดความดันเข้า (Inlet pressure) ที่ขนาดเส้นผ่านศูนย์กลางของ Vortex finder 2 มิลลิเมตร และเส้นผ่านศูนย์กลางที่ช่องทางออกด้านล่าง 1 มิลลิเมตร จาก 4 บาร์ เป็น 2 บาร์ ทำให้ของเร็งย้อนกลับลดลงเพียง 6.5 เปอร์เซ็นต์ และปริมาตรรับอนุกลับเพิ่มขึ้น 9.5 เปอร์เซ็นต์ ซึ่งสามารถสรุปได้ว่าการเปลี่ยนความดันมีผลกระทบต่อของเร็งและปริมาตรรับอนุกลับน้อยกว่าการเปลี่ยนขนาดเส้นผ่านศูนย์กลางของช่องทางออกอย่างมีนัยสำคัญ

Puprasert. และคณะ (2004) เป็นการศึกษาเปรียบเทียบประสิทธิภาพของไฮโดรไซโคลนแบบธรรมด้าและแบบที่ติดตั้งกริพอต เพื่อใช้ในการบำบัดขันตันของน้ำไหลนอง (run-off water) โดยในงานวิจัยนี้ได้ทำการศึกษาระบวนการที่ผสมผสานระหว่างไฮโดรไซโคลนและถังตักตะกอนขนาดเล็กเข้าด้วยกัน โดยใช้ กริพอตทำหน้าที่คล้ายถังตักตะกอนขนาดเล็ก และทำการเปรียบเทียบประสิทธิภาพระหว่างไฮโดรไซโคลนแบบธรรมด้าและไฮโดรไซโคลนที่ติดตั้งกริพอต

งานวิจัยนี้ใช้ไฮโดรไซโคลนแบบธรรมด้าตามรูปแบบของ Rietema วัสดุที่มาจากเหล็กกล้าไร้สนิม มีเส้นผ่านศูนย์กลางขนาด 75 มิลลิเมตร มีเส้นผ่านศูนย์กลางทางเข้าและทางออกด้านบนขนาด 32 มิลลิเมตร โดยแปลนเส้นผ่านศูนย์กลางทางออกด้านล่างขนาด 8 10 และ 12 มิลลิเมตร และแบ่งความดันจ่ายเข้าตั้งแต่ 1 - 4 บาร์ ส่วนกริพอตที่นำมาใช้เป็นพลาสติกป้องใส ทรงกระบอก มีเส้นผ่านศูนย์กลางขนาด 10 เซนติเมตร ปริมาตร 1.2 ลิตร ติดตั้งวางที่ด้านล่างของกริพอตเส้นผ่านศูนย์กลางขนาด 15 มิลลิเมตร สำหรับปล่อยตะกอนออกมานอกจากนี้ใช้น้ำดิบสังเคราะห์โดยใช้น้ำประปาสมกับอนุภาคของเร็ง 2 ชนิด คือ microsand และ glass power ซึ่งมีค่าความถ่วงจำเพาะ 2.64 และ 1.2 ตามลำดับ และมีขนาดอนุภาคเฉลี่ย 5 และ 25 ไมโครเมตร ตามลำดับ ใช้ความเข้มข้นของน้ำดิบท่ากับ 1 และ 3 กรัมต่อลิตร เวลาที่ใช้ในการควบคุมกริพอต คือ 0.5 1 และ 2 นาที

ในงานวิจัยนี้ ได้ทำการศึกษาประสิทธิภาพของไฮโดรไซโคลน 3 แบบ คือ ประสิทธิภาพการแยกอนุภาคของเร็ง (Solid separation efficiency) ประสิทธิภาพการแยกอนุภาคในแรงของขนาดอนุภาค (Granulometry separation efficiency) และขนาดตัด, d_c (Cutting diameter)

พบว่า ประสิทธิภาพในการแยกอนุภาคของแข็งของไฮโดรไฮโคลนที่ติดตั้งกริพอตค่อนข้างสูงประมาณ 70 และ 65 เปอร์เซ็นต์ ตามลำดับ โดยไฮโดรไฮโคลนที่ติดตั้งกริพอตจะมีประสิทธิภาพต่ำกว่าไฮโดรไฮโคลนแบบธรรมด้า แต่จะมีความเข้มข้นของตะกอนที่ทางออกด้านล่างมากกว่า พารามิเตอร์ที่ส่งผลต่อประสิทธิภาพของไฮโดรไฮโคลนคือ ขนาดของอนุภาค โดยตั้งไว้ 24 มิเมตร ซึ่งแสดงให้เห็นว่าไฮโดรไฮโคลนทั้งสองแบบนี้สามารถแยกอนุภาคของแข็งขนาดใหญ่ได้จำนวนหนึ่ง ดังนั้นจึงหมายที่จะใช้เป็นการนำบัดขันตันของน้ำในหนอง

นอกจากนี้ยังมีการเปรียบเทียบไฮโดรไฮโคลนที่ติดตั้งกริพอตกับถังตะกอน ที่ประสิทธิภาพการแยกอนุภาคของแข็งเดียวกัน จากการคำนวณโดยใช้สมการกฎของสโตค พบร้า ไฮโดรไฮโคลนที่ติดตั้งกริพอต ต้องการพื้นที่น้อยกว่า ซึ่งหมายความว่าในเมืองที่มีพื้นที่จำกัด นอกจากนี้ ประสิทธิภาพในการแยกอนุภาคของไฮโดรไฮโคลนที่ติดตั้งกริพอตจะดีขึ้นเมื่อเพิ่มความดันจ่ายเข้า

ดังนั้นไฮโดรไฮโคลนที่ติดตั้งกริพอตจึงเป็นอีกทางเลือกหนึ่งในการนำบัดน้ำในหนอง ซึ่งให้ประสิทธิภาพใกล้เคียงกับไฮโดรไฮโคลนแบบธรรมด้า แต่ให้ปริมาณความเข้มข้นของตะกอนที่ทางออกด้านล่างมากกว่า และใช้พื้นที่น้อยกว่าถังตะกอนอีกด้วย

อัทธิพย์ จิรพรชัย (2551) เป็นงานวิจัยระดับการทดลอง โดยใช้ไฮโดรไฮโคลนและไฮโดรไฮโคลนที่ติดตั้งกริพอตขนาดเส้นผ่านศูนย์กลาง 75 และ 50 มิลลิเมตร และใช้น้ำดิบจริงที่โรงกรองน้ำสามเสน 2 และสถานีสูบน้ำดิบสำราญ โดยทำการศึกษาความเป็นไปได้ในการใช้ไฮโดรไฮโคลนและไฮโดรไฮโคลนที่ติดตั้งกริพอต มาลดปริมาณสารแขวนลอยในน้ำดิบก่อนเข้าสู่ระบบผลิตน้ำประปา และศึกษาประสิทธิภาพในการแยกสารแขวนลอยออกจากน้ำดิบถึงพารามิเตอร์ต่างๆ ที่มีผลต่อประสิทธิภาพของไฮโดรไฮโคลนทั้งสองชนิด คือ ความดันจ่ายเข้า ขนาดเส้นผ่านศูนย์กลางของไฮโดรไฮโคลน ขนาดเส้นผ่านศูนย์กลางทางออกด้านล่าง และเวลาที่ใช้ในการเก็บกักตะกอนในกริพอต เป็นต้น โดยตัวแปรที่มีผลสำคัญที่สุด คือ ความดันจ่ายเข้า ส่วนพารามิเตอร์อื่นๆ มีผลน้อยกว่ามาก เมื่อนำไฮโดรไฮโคลนทั้งสองแบบไปใช้ในการแยกสารแขวนลอยในน้ำดิบ พบร้า ไฮโดรไฮโคลนและไฮโดรไฮโคลนที่ติดตั้งกริพอตมีประสิทธิภาพในการแยกสารแขวนลอยระหว่างวัยละ 2 ถึง 34 และวัยละ 8 ถึง 70 ตามลำดับ

จากการศึกษางานวิจัยที่ผ่านมาข้างต้นเกี่ยวกับประสิทธิภาพการทำงานของไฮโดรไฮโคลน ซึ่งจะขึ้นอยู่กับพารามิเตอร์ เช่น ความดันจ่ายเข้า ขนาดเส้นผ่านศูนย์กลางของไฮโดรไฮโคลน ขนาดเส้นผ่านศูนย์กลางของช่องทางออกด้านล่างของไฮโดรไฮโคลน :

1. เมื่อความดันจ่ายเข้าเพิ่มมากขึ้น จะทำให้สามารถแยกของแข็งออกจากของเหลวได้มากขึ้น
2. เมื่อไฮโดรไซโคลนมีขนาดเล็กผ่านศูนย์กลางของเล็กลง จะทำให้สามารถแยกอนุภาคที่มีขนาดเล็กได้ดีขึ้น
3. เมื่อขนาดเล็กผ่านศูนย์กลางของซ่องทางออกด้านล่างของไฮโดรไซโคลนเล็กลง ทำให้มวลที่ออกทางด้านล่างมีค่าลดลง

นอกจากนี้จากการศึกษางานวิจัยที่ผ่านมานั้น ได้มีการนำกริพอตมาติดตั้งที่ซ่องทางออกด้านล่างของไฮโดรไซโคลน ชื่ogrivipotจะทำหน้าที่คล้ายถังตักตะกอนขนาดเล็ก สามารถรวบรวมตะกอนไว้ในกริพอต ทำให้มีความเข้มข้นของตะกอนที่ซ่องทางออกด้านล่างมากกว่าไฮโดรไซโคลนที่ไม่ได้ติดตั้งกริพอต

สนธิลักษณ์ สุขสุคนธ์ (2552) เป็นงานวิจัยระดับการทดลอง โดยไฮโดรไซโคลนและไฮโดรไซโคลนที่ติดตั้งกริพอตขนาดเล็กผ่านศูนย์กลาง 75 และ 50 มิลลิเมตร แทนที่ถังตักกรวดทรายแบบเดิมอากาศในการแยกกรวดทรายออกจากน้ำเสียชุมชนดินแดง โดยศึกษาถึงผลของพารามิเตอร์ต่างๆ ที่มีผลต่อประสิทธิภาพการทำงานของไฮโดรไซโคลนทั้งสองแบบ ได้แก่ ความดันจ่ายเข้าขนาดเล็กผ่านศูนย์กลางของไฮโดรไซโคลน ขนาดเล็กผ่านศูนย์กลางซ่องทางออกด้านล่าง และเวลาที่ใช้ในการดำเนินการของกริพอต อีกทั้งเปรียบเทียบประสิทธิภาพระหว่างไฮโดรไซโคลน ไฮโดรไซโคลนที่ติดตั้งกริพอต และถังตักกรวดทรายแบบเดิมอากาศที่ใช้อยู่ปัจจุบัน ณ โรงบำบัดน้ำเสียชุมชนดินแดง โดยประสิทธิภาพในการแยกกรวดทรายในรูปของของแข็งคงตัวของไฮโดรไซโคลนแบบธรรมดากลางๆ และไฮโดรไซโคลนที่ติดตั้งกริพอต มีค่าสูงสุดเท่ากับ 86 และ 68 เปอร์เซ็นต์ ตามลำดับ แต่ไฮโดรไซโคลนที่ติดตั้งกริพอตมีความเข้มข้นของกรวดทรายที่สะสมในกริพอตโดยเฉลี่ย 6,272 มิลลิกรัมต่อลิตร ซึ่งมีค่าสูงกว่าไฮโดรไซโคลนแบบธรรมดากลางๆ 200 เท่า ส่วนความเข้มข้นของกรวดทรายที่แยกได้จากถังตักกรวดทรายแบบเดิมอากาศ มีค่าเท่ากับ 1,800 มิลลิกรัมต่อลิตร และพารามิเตอร์ที่มีผลต่อไฮโดรไซโคลนมากที่สุด คือ ความดันจ่ายเข้าส่วนพารามิเตอร์อื่นๆ มีผลน้อยกว่ามาก

4. การศึกษาพารามิเตอร์ที่มีผลต่อประสิทธิภาพการทำงานของไฮโดรไซโคลน

Cilliers. และคณะ (2004) ศึกษาผลกระทบต่อการแยกอนุภาคและการรีดน้ำออก (Dewatering) ที่ความเข้มข้นของอนุภาคต่ำ เมื่อมีการเปลี่ยนแปลงอุณหภูมิ

ในการทดลองใช้ไฮโดรไซโคลน处理วนค่าน้ำดseenผ่านศูนย์กลาง 10 มิลลิเมตร มีขนาดseenผ่านศูนย์กลางของ Vortex finder 2.6 มิลลิเมตร ขนาดseenผ่านศูนย์กลางทางออกด้านล่าง (Spigot) 1.5 มิลลิเมตร และให้ความดันคงที่ที่ 3.5 บาร์ ทำการทดลองโดยใช้ผงซิลิกา (Silica flour) ที่มีขนาดอนุภาค 0.8 6 และ 11 ไมโครเมตร ผสมกับน้ำที่มีอุณหภูมิระหว่าง 10 ถึง 60 องศาเซลเซียส จ่ายเข้าไปในไฮโดรไซโคลน พบร่วมเมื่ออุณหภูมิสูงขึ้น ความเข้มข้นของอนุภาคที่ทางออกด้านล่าง (Underflow) ก็จะเพิ่มขึ้น จึงสามารถสรุปได้ดังนี้

1. การที่ของแข็งกลับคืน (Solid recovery) มีค่ามากขึ้น เป็นผลมาจากการเพิ่มขึ้นของสัดส่วนการไหลอ้อม (By pass) และการลดลงของขนาดตัด (Cut size)

2. สัดส่วนความเข้มข้น ($\frac{\rho_u}{\rho_f}$) เพิ่มขึ้น เนื่องจากการลดลงของน้ำกลับคืน (Water Recovery) และการเพิ่มขึ้นของของแข็งกลับคืน (Solid recovery)

3. ไฮโดรไซโคลนขนาดseenผ่านศูนย์กลาง 10 มิลลิเมตร สามารถนำไปประยุกต์ใช้ในการแยกอนุภาคขนาดละเอียด โดยเฉพาะอย่างยิ่งการรวมอนุภาคที่มีขนาดเล็กกว่า 1 ไมโครเมตร

4. อุณหภูมิไม่มีผลต่อความคงตัวในการแยกอนุภาคของไฮโดรไซโคลน

5. การศึกษาการทำงานของไฮโดรไซโคลนในลักษณะการไหลภายในไฮโดรไซโคลน

Chu. และคณะ (2002) ศึกษาผลกระทบของรูปทรง พารามิเตอร์ในการดำเนินการ และลักษณะการจ่ายเข้าของการเคลื่อนที่ของอนุภาคของแข็งในไฮโดรไซโคลน

ในการทดลองนี้ใช้ไฮโดรไซโคลนขนาดseenผ่านศูนย์กลาง 80 มิลลิเมตร ของผสมมีส่องเฟส คือ น้ำและอนุภาคของแข็งซึ่งประกอบด้วย Polysterene Polyvinyl chloride และ Quartz มีความหนาแน่น 1.05 1.40 และ 2.27 กรัมต่อลูกบาศก์เซนติเมตร ตามลำดับ โดยขนาดอนุภาคความเข้มข้นของอนุภาคในของผสมที่จ่ายเข้า และความดันเข้าจะเปรียบเทียบกับการทดลอง แล้ววิเคราะห์โดยใช้เครื่องมือวิเคราะห์ทางพลศาสตร์ของอนุภาค (Particle dynamic analyzer, PDA) ในการหาความเร็วตามแนวแกนและความเร็วตามแนวแกนร่วมกับมีของไฮโดรไซโคลน สามารถสรุปผลการทดลองได้ว่า

1. ความเร็วตามแนวรัศมีของอนุภาคของแข็งจะลดลง เมื่อตัวแหน่งรัศมีเพิ่มขึ้นและกราฟการกระจายตามแนวแกนจะมีลักษณะเป็นรูปพาราโบลา
2. ความเร็วตามแนวรัศมีของอนุภาคของแข็งจะเพิ่มขึ้น เมื่อความดันจ่ายเข้าเพิ่มขึ้นหรือเมื่อขนาดเส้นผ่าศูนย์กลางของห่อห้องทางออกด้านล่างเพิ่มขึ้น
3. ความเร็วตามแนวรัศมีของอนุภาคของแข็งลดลง เมื่อความหนาแน่นหรือขนาดของอนุภาคของแข็งเพิ่มขึ้น
4. ความเร็วตามแนวรัศมีของอนุภาคของแข็งจะลดลง เมื่อความเข้มข้นของอนุภาคของแข็งที่จ่ายเข้าเพิ่มขึ้น
5. ความเร็วตามแนวแกนของอนุภาคของแข็งในการไหลวนภายใน (Inner helical flow) จะมีค่ามากกว่าความเร็วตามแนวแกนในการไหลวนภายนอก (Outer helical flow)
6. ความเร็วตามแนวแกนในการไหลวนภายในของอนุภาคของแข็งเพิ่มขึ้น เมื่ออัตราการไหลของช่องทางออกด้านบนเพิ่มขึ้น และความเร็วตามแนวแกนในการไหลวนภายนอกจะเพิ่มขึ้น เมื่ออัตราการไหลของช่องทางออกด้านล่างเพิ่มขึ้น

Shah. และคณะ (2006) ศึกษาการทำแบบจำลองการแยกน้ำ (Water split) ในไฮโดรไฮโคลนขนาดเส้นผ่าศูนย์กลาง 76 มิลลิเมตร และทำการเปรียบเทียบกับข้อมูลที่ได้จากการทดลอง โดยในงานวิจัยนี้ได้ทำแบบจำลองเพื่อท่านายการแยกน้ำในไฮโดรไฮโคลน ซึ่งใช้อัตราส่วนระหว่างขนาดเส้นผ่าศูนย์กลางของช่องทางออกด้านล่าง (Spigot) และขนาดเส้นผ่าศูนย์กลางของช่องทางออกด้านบน (Vortex finder) เป็นตัวแปรควบคุม และใช้ความดันที่จ่ายเข้าไฮโดรไฮโคลนเป็นตัวแปรตามที่จะสามารถควบคุมลักษณะการแยกน้ำในไฮโดรไฮโคลนได้

จากการศึกษาผลของอัตราส่วนระหว่างขนาดเส้นผ่าศูนย์กลางของช่องทางออกด้านล่าง และขนาดเส้นผ่าศูนย์กลางของช่องทางออกด้านบน หรือที่เรียกว่า อัตราส่วนกรวย (Cone ratio) ทำการทดลองโดยใช้ไฮโดรไฮโคลนขนาดเส้นผ่าศูนย์กลาง 76 มิลลิเมตร อัตราส่วนกรวยมีค่า 0.5 โดยในการทดลองแรกใช้เส้นผ่าศูนย์กลางของช่องทางออกด้านล่างและเส้นผ่าศูนย์กลางของช่องทางออกด้านบน คือ 11 และ 22 มิลลิเมตร ตามลำดับ และในการทดลองที่สองใช้เส้นผ่านศูนย์กลางของช่องทางออกด้านล่างและเส้นผ่าศูนย์กลางของช่องทางออกด้านบน คือ 13 และ 26 มิลลิเมตร ตามลำดับ โดยที่ให้ตัวแปรอื่นๆ คงที่ พบร่วมกันที่แม้ว่าอัตราส่วนกรวยจะเท่ากัน แต่การแยกน้ำในไฮโดรไฮโคลนนั้นแตกต่างกันอย่างชัดเจน

จากการศึกษาพบว่า เมื่อเพิ่มขนาดเส้นผ่านศูนย์กลางของช่องทางออกด้านบน การแยกน้ำจะลดลง และเมื่อเพิ่มขนาดเส้นผ่านศูนย์กลางของช่องทางออกด้านล่าง จะทำให้เกิดการแยกน้ำเพิ่มขึ้น

Yang. และคณะ (2004) ศึกษาการทำแบบจำลองสามมิติของไฮโดรไซโคลน เพื่อทำการไอลและประสิทธิภาพในการแยกอนุภาค สำหรับใช้แยกสัลต์ในโรงผลิตน้ำบริสุทธิ์ และทำการเปรียบเทียบกับข้อมูลที่ได้จากการทดลอง

วัตถุประสงค์ในการวิจัยนี้ก็เพื่อศึกษาความเป็นไปได้ของไฮโดรไซโคลน ในการทำขั้นสัลต์ในโรงผลิตน้ำบริสุทธิ์ เนื่องจากกระบวนการที่ใช้อยู่ในปัจจุบันต้องการพื้นที่มากและใช้เวลานานเพื่อให้ได้ความเข้มข้นของสัลต์มาก ดังนั้นงานวิจัยนี้จึงได้ทำการทดลองจำลองสามมิติเพื่อทำการไอลและประสิทธิภาพในการแยกอนุภาคในไฮโดรไซโคลนในเบื้องต้นขนาดอนุภาค และทำการเปรียบเทียบกับข้อมูลที่ได้จากการทดลองจริง

งานวิจัยนี้ได้ทำการทดลองด้วยของผสมระหว่างน้ำและอนุภาคของแข็ง ที่นำมาจากสัลต์ในกระบวนการผลิตน้ำบริสุทธิ์ของ Seong-Hwan water purifying plant โดยที่สัลต์มีส่วนประกอบของแร่ต่างๆ เช่น หินแม่เยี่ยวนมาน (quartz) แร่ไฮดรัสโคลามิเนียมซิลิกेट (Kaolinite) และหินอัลไบต์ (Albite) อนุภาคของของแข็งมีความหนาแน่นโดยเฉลี่ย 2.1 กรัมต่อลูกบาศก์เซนติเมตร และขนาดอนุภาคของของแข็งมีการกระจายตัวตั้งแต่ขนาดเล็กกว่าไมครอน (Sub-micron) จนถึง 100 ไมครอน โดยมีความเข้มข้นของของแข็งที่じゃเย้าเท่ากับ 7.46 เปอร์เซ็นต์ อัตราการไอลของช่องทางเข้า (Feed) อัตราการไอลออกด้านบน (Overflow) อัตราการไอลออกด้านล่าง (Underflow) มีค่าเท่ากับ 49.9 35.0 และ 14.9 กิโลกรัมต่อนาที ตามลำดับ ทำการเก็บตัวอย่างในเวลาเดียวกันที่บริเวณทางน้ำเข้า ทางออกด้านบน และทางออกด้านล่าง จากนั้นนำไปหาค่าความเข้มข้นของของแข็งและการกระจายตัวของขนาดอนุภาคทั้ง 3 ตัวอย่าง

จากการวิจัยโดยใช้การคำนวณพลังงานจลน์ด้วยคอมพิวเตอร์ พบว่า ความเร็วตามแนวสัมผัสเส้นรอบวงจะเพิ่มขึ้นและมีค่าสูงสุดเมื่อเข้าใกล้แกนกลางของไฮโดรไซโคลน ส่วนค่าความดันสูงสุดจะเกิดขึ้นบริเวณส่วนทรงกระบอกใกล้กับช่องทางเข้า (Feed inlet) และมีค่าน้อยสุดที่บริเวณใกล้กับช่องทางออกด้านล่าง จากนั้นได้มีการเปรียบเทียบขนาดอนุภาคที่ไอลออกด้านล่าง (Underflow) ของแบบจำลองสามมิติและจากการทดลอง โดยผลที่ได้มีค่าใกล้เคียงกัน ซึ่งขนาดอนุภาคของแข็งที่ทางออกด้านล่างประมาณ 5 ถึง 45 ไมโครเมตร

สรุปได้ว่าวิธีการเคลื่อนที่ของอนุภาคสามารถทำนายประสิทธิภาพการแยกอนุภาคในไฮโดรไซโคลน และเมื่อทำการเปรียบเทียบกับแบบจำลองสามมิติ พบว่าได้ผลใกล้เคียงกัน

แม้ว่าในงานวิจัยที่ผ่านมาไม่มีงานวิจัยที่เกี่ยวกับการจัดเรียงไฮโดรไซโคลนแบบอนุกรม ซึ่งจากการศึกษาตามทฤษฎีแล้วสามารถทำได้ เป็นการเพิ่มประสิทธิภาพในการแยกของแข็งออกจากของเหลว จึงเป็นที่น่าสนใจในการนำไฮโดรไซโคลนมาจัดเรียงกันแบบอนุกรม

ดังนั้นในงานวิจัยนี้จึงมีแนวคิดในการนำไฮโดรไซโคลนมาจัดเรียงแบบอนุกรม เพื่อเพิ่มประสิทธิภาพในการแยกของแข็งแขวนลอยขนาดเล็กออกจากน้ำดิบได้มากขึ้น